

الاتحاد الدولي للاتصالات

**ITU-R**

قطاع الاتصالات الراديوية في الاتحاد الدولي للاتصالات

**ITU-R P.530-13**  
(2009/10)

معطيات الانتشار وطرائق التنبؤ المطلوبة  
لتصميم أنظمة راديوية للأرض  
في خط البصر

**P** السلسلة

انتشار الموجات الراديوية



## تمهيد

يسلط قطاع الاتصالات الراديوية دوراً يتمثل في تأمين الترشيد والإنصاف والفعالية والاقتصاد في استعمال طيف الترددات الراديوية في جميع خدمات الاتصالات الراديوية، بما فيها الخدمات الساتلية، وإجراء دراسات دون تحديد مدى الترددات، تكون أساساً لإعداد التوصيات واعتمادها.

ويؤدي قطاع الاتصالات الراديوية وظائفه التنظيمية والسياسية من خلال المؤتمرات العالمية والإقليمية للاتصالات الراديوية وجمعيات الاتصالات الراديوية بمساعدة لجان الدراسات.

### **سياسة قطاع الاتصالات الراديوية بشأن حقوق الملكية الفكرية (IPR)**

يرد وصف للسياسة التي يتبعها قطاع الاتصالات الراديوية فيما يتعلق بحقوق الملكية الفكرية في سياسة البراءات المشتركة بين قطاع تقنيين الاتصالات وقطاع الاتصالات الراديوية والمنظمة الدولية للتوحيد القياسي واللجنة الكهربائية الدولية (ITU-T/ITU-R/ISO/IEC) والمشار إليها في الملحق 1 بالقرار 1 ITU-R. وتعد الاستثمارات التي ينبغي لحاملي البراءات استعمالها لتقاسم بيان عن البراءات أو للتصریح عن منح رخص في الموقع الإلكتروني <http://www.itu.int/ITU-R/go/patents/en> حيث يمكن أيضاً الإطلاع على المبادئ التوجيهية الخاصة بتطبيق سياسة البراءات المشتركة وعلى قاعدة بيانات قطاع الاتصالات الراديوية التي تتضمن معلومات عن البراءات.

### **سلسلة توصيات قطاع الاتصالات الراديوية**

(يمكن الإطلاع عليها أيضاً في الموقع الإلكتروني <http://www.itu.int/publ/R-REC/en>)

العنوان	السلسلة
البث الساتلي	BO
التسجيل من أجل الإنتاج والأرشفة والعرض؛ الأفلام التلفزيونية	BR
الخدمة الإذاعية (الصوتية)	BS
الخدمة الإذاعية (التلفزيونية)	BT
الخدمة الثابتة	F
الخدمة المتنقلة وخدمة التحديد الراديوى للموقع وخدمة الهواة والخدمات الساتلية ذات الصلة	M
<b>انتشار الموجات الراديوية</b>	
علم الفلك الراديوى	P
الخدمة الثابتة الساتلية	RA
أنظمة الاستشعار عن بعد	S
التطبيقات الفضائية والأرصاد الجوية	RS
تقاسم الترددات والتنسيق بين أنظمة الخدمة الثابتة الساتلية والخدمة الثابتة	SA
إدارة الطيف	SF
التجمیع الساتلي للأخبار	SM
إرسالات الترددات المعيارية وإشارات التوقيت	SNG
المفردات والمواضيع ذات الصلة	TF
	V

**ملاحظة:** تمت الموافقة على النسخة الإنكليزية لهذه التوصية الصادرة عن قطاع الاتصالات الراديوية بموجب الإجراء الموضح في القرار ITU-R 1

النشر الإلكتروني  
جنيف، 2010

## التوصية 13- P.530 ITU-R

# معطيات الانتشار وطرق التبؤ المطلوبة لتصميم أنظمة راديوية للأرض في خط البصر

(ITU-R 204/3) المسألة

(1978-1982-1990-1992-1994-1995-1997-2001-2005-2007-2009)

**مجال التطبيق**

تقدم هذه التوصية طرائق التبؤ المطلوبة بالنسبة لتأثيرات الانتشار التي ينبغي مراعاتها عند تصميم وصلات ثابتة رقمية في خط البصر في كل من ظروف الجو الصافي وهطول الأمطار. كما أنها تقدم توجيهات لتصميم الوصلة بإجراءات واضحة خطوة بخطوة بما في ذلك استخدام تقنيات التخفيف لتقليل تشوّهات الانتشار. ويعتبر الانقطاع النهائي المتبع به أساساً لتوقيتات أخرى تتصدى للخطأ في الأداء والتوفير.

إن جمعية الاتصالات الراديوية للاتحاد الدولي للاتصالات،

إذ تضع في اعتبارها

- (أ) أنه من الضروري أن تتوفر طرائق التبؤ والمعطيات المناسبة لخطة ملائمة لأنظمة للأرض في خط البصر؛
- (ب) أن ثمة طرائق وضعت تسمح بالتبؤ بعض أهم المعلومات التي تؤثر في خطة الأنظمة للأرض في خط البصر؛
- (ج) أن هذه الطرائق قد خضعت، بقدر الإمكان، لاختبارات تتعلق بالمعطيات الميسرة المقيدة وتبين أنها ذات دقة متناسبة مع التغيرات الطبيعية في ظواهر الانتشار ومتاحة كذلك لأكثرية التطبيقات الحالية في مجال خطة الأنظمة،

**توصي**

- 1 بأن يصار إلى تبني طرائق التبؤ والتقنيات الأخرى المقدمة في الملحق 1 من أجل خطة الأنظمة للأرض في خط البصر في مختلف أنحاء العالم المشار إليها.

**الملاحق 1****المقدمة 1**

- يجب أن يؤخذ في الاعتبار عند تصميم أنظمة المراحلات الراديوية في خط البصر، تأثيرات عددة للانتشار منها التأثيرات التالية:
- خبو الانتعاج العائد إلى حجب المسير بعوائق في التضاريس الأرضية في حالات غير مؤاتية للانتشار؛
  - التوهين العائد إلى العازلات الجوية؛
  - الخبو العائد إلى تعدد المسيرات في الجو أو إلى تجديد الحزمة (الذي يسمى، عادة في النصوص التقنية الإنكليزية، بإزالة التبخير) المصاحب لطبقات انكسارية شاذة؛

- الخبو العائد إلى تعدد المسيرات بسبب الانعكاس على سطح الأرض؛
- التوهين بالهواء أو بالجسيمات الصلبة في الجو؛
- تغير زاوية الوصول عند مطراق الاستقبال، وزاوية الانطلاق عند مطراق الإرسال بسبب الانكسار؛
- انخفاض التمييز باستقطاب متقطع في حالات تعدد المسيرات أو الهواطل؛
- تشوه الإشارة بسبب الخبو الانتقائي للترددات والتأخر في الانتشار عبر مسيرات متعددة.

يهدف هذا الملحق في أحد جوانبه إلى تقسيم موجز وبخطوة تلو الخطوة لطرائق التنبؤ البسيطة بتأثيرات الانتشار التي يجب أن تؤخذ في الاعتبار في أكثرية الوصلات الثابتة في خط البصر، ومعلومات عن مدى صلاحيتها. وثمة هدف آخر لهذا الملحق يكمن في تقديم معلومات وتقنيات أخرى يمكن التوصية بها في تحضير الأنظمة للأرض في خط البصر.

وعكن أن تتمتع طرائق التنبؤ المبنية على شروط مناخية وطبوغرافية محددة داخل الأراضي التابعة لأحدى الإدارات بمزايا عده بالنسبة إلى الطرائق المقدمة في هذا الملحق.

وباستثناء التداخل الناتج عن انخفاض التمييز بالاستقطاب المتقطع، لا يعالج هذا الملحق إلا التأثيرات في الإشارة المطلوبة. وتعرّف الفقرة 6.3.2 نسبة سماح إجمالية لتأثير التداخل بين الأنظمة في الأنظمة الرقمية، غير أن هذه المسألة لم تدرس إلى أبعد من ذلك. وتعالج جوانب أخرى من التداخل في توصيات مختلفة منها:

- التوصية ITU-R P.452 التي تعالج التداخل بين الأنظمة المتعلقة بوصلات أخرى للأرض وبمحطات أرضية،
- التوصية ITU-R P.619 التي تعالج التداخل داخل النظام المتعلقة بالمحطات الفضائية.

ويستعمل، لتوفير فائدة مثلٍ لهذا الملحق، ترتيب للمعلومات وفقاً لتأثيرات الانتشار التي يجب أن تؤخذ في الاعتبار، بدلاً من الآليات المادية التي تسبب مختلف هذه التأثيرات.

وتجدر الإشارة إلى أن عبارة "الشهر الأسوأ" المستعملة في هذه التوصية هي مكافحة لتعبير "أي شهر" (راجع التوصية ITU-R P.581).

## 2 خسارة الانتشار

تمثل خسارة الانتشار على مسیر أرضی في خط البصر بالنسبة إلى الخسارة في الفضاء الحر (راجع التوصية ITU-R P.525) مجموعاً مختلفاً للمساهمات على النحو التالي:

- التوهين العائد إلى الغازات الجوية،
- خبو الانعراج العائد إلى حجب المسير الكامل أو الجزئي بالعواائق،
- الخبو العائد إلى تعدد المسيرات، وتمديد الخزمة والتلاؤ،
- التوهين العائد إلى تغير زاويته الوصول والانطلاق،
- التوهين العائد إلى الهواطل،
- التوهين العائد إلى العواصف الرملية والترابية.

وتحتل كل من هذه المساهمات خصائصها المميزة وفقاً للتردد وطول المسير ولموقع الجغرافي، وتوصف في الفقرات التالية. ويبدو أحياناً أن تعزيز الانتشار مهم. ويعالج في هذه الحالات وفقاً لخسارة الانتشار المصاحبة له.

## 1.2 التوهين العائد إلى الغازات الجوية

يظهر دائماً توهين يعود إلى الامتصاص بالأكسجين وبخار الماء، ينبغي إدراجه في حساب خسارة الانتشار الكلية عند الترددات ما فوق 10 GHz تقريباً. ويكون التوهين على مسیر طوله  $d$  (km)، هو التالي:

$$(1) \quad A_a = \gamma_a d \quad \text{dB}$$

ويحصل على التوهين المعين  $\gamma_a$  (dB/km) بواسطة التوصية ITU-R P.676.

**الملاحظة 1** - يستحسن، على مسیرات طويلة عند ترددات فوق 20 GHz تقريباً، أن تؤخذ في الاعتبار الإحصائيات المعروفة حول كثافة بخار الماء ودرجة الحرارة في حوار المسیر. وتعطى التوصية ITU-R P.836 بعض المعلومات عن كثافة بخار الماء.

## 2.2 خبو الانعراج

تسبب التغيرات في شروط الانعراج الجوية تغيرات في نصف قطر الأرض الفعال أو في العامل  $k$  بالنسبة إلى قيمته المتوسطة 4/3 في الجو المعياري (راجع التوصية ITU-R P.310). وعندما يتميز الجو بانكسار دون معياري كافٍ (قيم موجبة مرتفعة لدرج دليل الانكسار، وقيم منخفضة للعامل  $k$ )، تكون مسیرات الأشعة منحنية على نحو يبدو فيه أن الأرض تحجب المسیر المباشر بين المرسل والمستقبل وهذا ما يؤدي إلى نوع الخبو المسمى بخبو الانعراج. وهذا الخبو هو العامل الذي يحدد ارتفاعات المواتيات.

ويمكن أن تحدد إحصائيات العامل  $k$  لنقطة وحيدة انتلاقاً من القياسات أو التنبؤات بتدرج دليل الانكسار في المائة متر الأولى من الجو (راجع التوصية ITU-R P.453)، حول تأثيرات الانكسار. ويجب تحديد القيم المتوسطة لهذه الدرجات للحصول على قيمة  $k$  الفعلة لطول المسیر المعنی،  $k_e$ . وتناقش قيم  $k_e$  التي يتم تجاوزها أثناء 99,9% من الوقت بالنسبة إلى معيار إفساح المسیر في الفقرة التالية.

### 1.2.2 خسارة الانعراج بالنسبة إلى إفساح المسیر

تتعلق خسارة الانعراج بنمط التضاريس الأرضية ونوع النبات. وتتغير خسارة الانعراج، لإفساح معين لمسیر الشعاع، من قيمة دنيا في حالة عائق وحيد كحد السكين إلى قيمة قصوى لأرض كروية منتظمة. وتناول التوصية ITU-R P.526 طائق حساب خسارة الانعراج لهاتين الحالتين وفي المسيرات عبر تضاريس أرضية غير منتظمة كذلك. ويبين الشكل 1 الحدين الأعلى والأدنى لخسارة الانعراج.

ويمكن الحصول على قيمة تقريرية لخسارة الانعراج على أرض متوسطة في حالة خسائر تفوق 15 dB تقريباً بواسطة الصيغة التالية:

$$(2) \quad A_d = -20 h / F_1 + 10 \quad \text{dB}$$

حيث  $h$  هو فرق الارتفاع (m) بين حجب المسیر الأكثر دلالة ومساره ( $h$ ) تكون سالبة إذا وقعت قمة العائق المعنی فوق خط البصر التقديری)، و  $F_1$  هي نصف قطر أول مجسم إهليلجي لفرینل، تعطى الصيغة التالية:

$$(3) \quad F_1 = 17.3 \sqrt{\frac{d_1 d_2}{fd}} \quad \text{m}$$

مع:

: التردد (GHz)

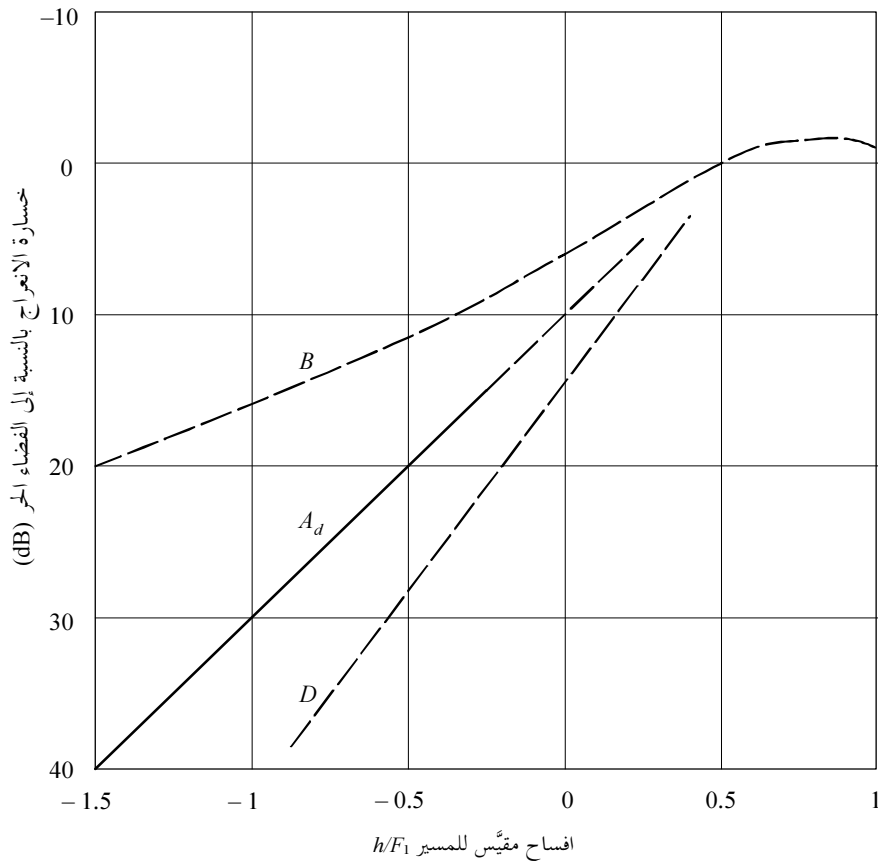
: طول المسیر (km)

: المسافتان (km) بين المطرافين ونقطة حجب المسیر.

ويبين أيضاً الشكل 1 المنحني  $A_d$ ، المبني على المعادلة (2). وقد خضع هذا المنحني، الصالح فقط لخسائر أكبر من 15 dB، لاستكمال خارجي حتى قيمة 6 dB للاستجابة لاحتياجات مصممي الوصلات.

الشكل 1

خسارة الانتعاج العائدة إلى وجود عوائق على المسيرات الراديوية  
للموجات الصغرية عند خط البصر



منحنى بياني نظري لخسارة عائق كحد السكين :B

منحنى بياني نظري لخسارة أرض كروية منتظم، عند  $k_e = 6.5 \text{ GHz}$  و  $4/3$  :

منحنى بياني تجاري لخسارة الانتعاج التجريبية استناداً إلى المعادلة (2)

للتضاريس الأرضية متوسطة الارتفاع

مقدار إفساح المسير الراديوي إلى سطح الأرض :D

:h مقدار إفساح المسير الراديوي إلى سطح الأرض

: $F_1$  نصف قطر منطقة فرييل الأولى

0530-01

## 2.2.2 معايير التخطيط لإفساح المسير

لقد خُفف في الماضي خبو الانتعاج من هذا النمط عند ترددات فوق 2 GHz، من خلال تركيب هوائيات عالية بما يكفيكي لا يقع المستقبل، حتى في حالة أقصى ميل للأشعة، داخل منطقة الانتعاج عندما ينخفض نصف قطر الأرض الفعال إلىأدنى من قيمته العادية. وتشير نظرية الانتعاج إلى أن المسير المباشر بين المرسل والمستقبل يحتاج إلى إفساح فوق الأرض يساوي على الأقل 60% من نصف قطر منطقة فرييل الأولى كي يحقق شروط الانتشار في الفضاء الحر. وقد عمّلت بعض الإدارات في الفترة الأخيرة، مع حصولها على معلومات أولى حول هذه الآلية وعلى إحصائيات  $k_e$  المطلوبة للقيام بتنبؤات إحصائية، إلى تركيز هوائيات عند ارتفاعات تنتج قيمة منخفضة معروفة لفترة الانقطاع.

ويوصى، في غياب إجراء عام يسمح بالتنبؤ بقيمة خسارة الانتعاج لنسب مئوية صغيرة مختلفة من الوقت، ومن ثم بتحديد معيار إحصائي لإفساح المسير، أن يتبع الإجراء التالي بالنسبة إلى المناحات المعتدلة والمدارية.

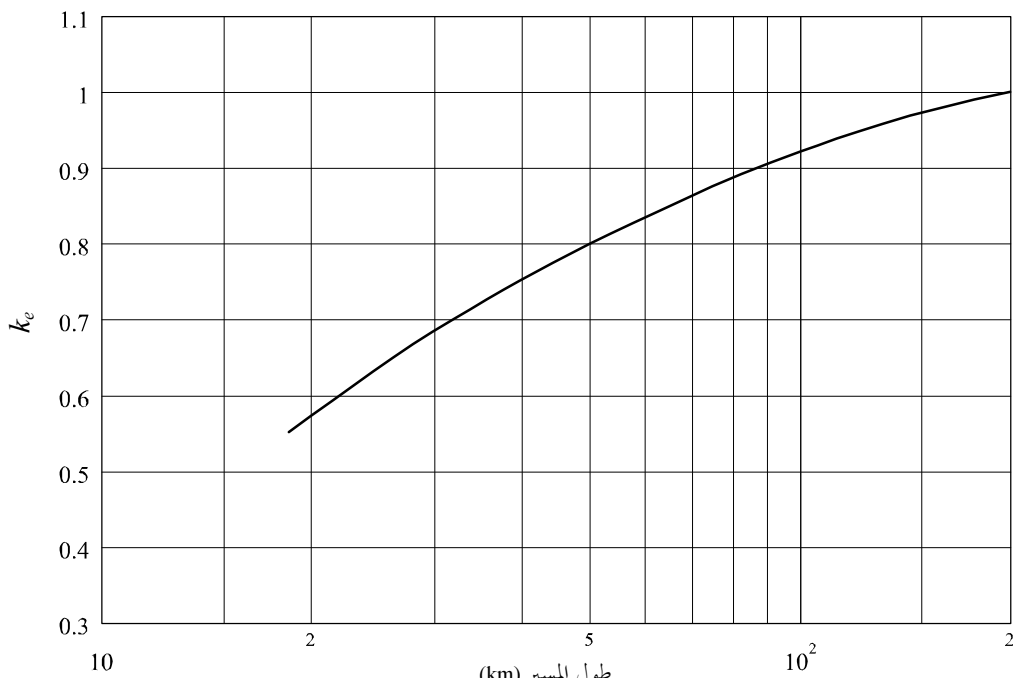
### 1.2.2.2 تشكيلات هوائيات بدون تنوع مكاني

الخطوة 1: يحدد ارتفاع الهوائيات المطلوبة للقيمة المتوسطة المناسبة للعامل النقطي  $k$  (راجع الفقرة 2.2؛ يؤخذ  $k = 4/3$  في غياب أية معطيات) والإفساح  $1,0 F_1$  فوق أعلى عائق (في المناخات المعتدلة والمدارية)؛

الخطوة 2: يحصل على قيمة  $k_e$  (99,9%) انطلاقاً من الشكل 2، لطول المسير المعين.

الشكل 2

قيمة  $k_e$  التي يتم تجاوزها أثناء 99,9% تقريباً من الشهر الأسوأ  
(مناخ قاري معتدل)



0530-02

الخطوة 3: يحسب ارتفاع الهوائيات المطلوب للقيمة  $k_e$  المحددة في الخطوة 2 وقيم نصف قطر إفساح منطقة فريبل التالية:

المناخ المداري	المناخ المعتدل
0,0 $F_1$ (أي ورود ثماسي) عندما يكون هناك عائق واحد معزول على المسير	0,6 $F_1$ لمسيرات يفوق طولها 30 km تقريباً

إذا امتد العائق على طول جزء من المسير 0,3  $F_1$

الخطوة 4: تستعمل قيم الارتفاع الأكبر للهوائيات التي حددت في الخطوتين 1 و 3 (راجع الملاحظة 1).

ويمكن، في حالة الشك حول نفع المناخ، أن تتبع قاعدة الإفساح الأكثر اعتدالاً (راجع الملاحظة 1) بالنسبة إلى المناخات المدارية، أو على الأقل، قاعدة مبنية على متوسط قيم الإفساح للمناخات المعتدلة والمدارية. وقد يتطلب تحنيب استعمال ارتفاعات هوائيات كبيرة غير مقبولة عند الترددات الأدنى من 2 GHz تقريباً، أن تستعمل في الخطوتين 1 و 3 قيم كسرية أصغر من  $F_1$ .

أما عند ترددات أعلى من 13 GHz تقريباً، فإن دقة تقدير ارتفاع العائق تصبح قريبة من نصف قطر منطقة فريبل. وينبغي إضافة هذه الدقة إلى الإفساح المذكور أعلاه.

**الملاحظة 1** - ينبغي بالرغم من تشدد هذه القواعد بالنسبة لخسارة الانتعاج الناجمة عن الخبو في حالات الانكسار دون المعياري أن يكون من الواضح أن المغalaة في التقليل من عدم التيسير الناجم عن خسارة الانتعاج في حالات الانكسار دون المعياري قد تؤدي إلى الخطأ أكبر في نوعية الأداء والتيسير في حالات الانتشار في المسيرات المتعددة. ويتذرر حالياً إعطاء معيار عام حل توافق بين هاتين الحالتين. غير أن هواش الحماية من الخبو في النظام قد تصلح لهذه الغاية.

### 2.2.2.2 تشكيلا ذات هوائيين أو ثلاثة باختلاف مكان

الخطوة 1: حساب ارتفاع الهوائي الأعلى باتباع إجراء تشكيلا الهوائي الوحيد المذكورة أعلاه.

الخطوة 2: حساب ارتفاع الهوائي الأدنى من أجل القيمة المتوسطة المناسبة للعامل النقطي  $k$  (يؤخذ  $k = 4/3$  في غياب أية معطيات)، وقيم إفساح منطقة فرييل التالية (راجع الملاحظة 1):

من  $F_1$  إلى  $0,6 F_1$  إذا امتد العائق على جزء من المسير؛

من  $F_1$  إلى  $0,0 F_1$  إذا كان ثمة عائق واحد أو عائقان معزولين على المسير.

ويمكن، عند الحاجة، اختيار إحدى القيم الدنيا في المدين المشار إليها من أجل تحنيب زيادة ارتفاع الأبراج الحالية أو إذا كان التردد أقل من 2 GHz.

ويمكن، أيضاً، اختيار إفساح الهوائي الأدنى على نحو يعطي فيه خسارة انتعاج من 6 dB تقريباً، في أثناء شروط الانكسار العادي (أي، في منتصف النهار؛ راجع الفقرة 8)، أو أية قيمة أخرى للخسارة مناسبة لمامش خبو النظام كما تحدده قياسات الاختبار. ويجب أن تتم القياسات في خلال عدة أيام من أجل تحنيب شروط انكسار شاذة.

ويمكن، أيضاً، في هذه الحالة البديلة، أن تقدر خسارة الانتعاج بواسطة الشكل 1 أو المعادلة (2).

الخطوة 3: التأكد من أن المباعدة بين الهوائيين تستجيب لشروط الاختلاف المكانى ضمن شروط الخبو بسبب تعدد المسيرات (راجع الفقرة 1.2.6). وإذا لم يتحقق ذلك، يصار إلى تعديل المباعدة، وفقاً للحالة.

**الملاحظة 1** - تم اختيار أمدية الإفساح هذه بحيث يتراوح مدى خسارة الانتعاج بين 3 dB تقريباً و 6 dB وتتناقص حالات الخبو بسبب المسيرات المتعددة على سطح الأرض (راجع الفقرة 3.1.6). وبالتالي لا تسمح خصائص بعض المسيرات بمثل هذا التناقص في الإفساح لذا ينبغي إيجاد وسائل أخرى لتحسين تأثيرات الخبو الناجم عن المسيرات المتعددة.

وفيما يخص المسيرات التي يرصد فيها وجود سطح عاكس خطير واحد أو أكثر يسبب حالات خبو المسيرات المتعددة على السطح (مسيرات فوق سطح الماء أو في سطوح مستوية جداً) يستحسن أولاً حساب ارتفاع الهوائي الأعلى باستعمال الطريقة المذكورة في الفقرة 1.2.2.2 ثم حساب أدنى مباعدة مثلى هوائي الاختلاف المكانى، وذلك من أجل تأمين حماية من الانتشار في المسيرات المتعددة على سطح الأرض (راجع الفقرة 3.1.6).

وقد يكون من الضروري في الحالات القصوى (مثل المسيرات الطويلة فوق الماء) استعمال تشكيلا تنوع المكانى مع ثلاثة هوائيات. ويستند إفساح الهوائي الأدنى في هذه الحالة على القاعدة المشار إليها في الخطوة 2، مع العلم بأن الإفساح بالنسبة إلى الهوائي الوسطى قائمه على شرط المباعدة المثلى مع الهوائي الأعلى من أجل تحسين تأثيرات الانتشار بالمسيرات المتعددة على سطح الأرض (راجع الفقرة 1.2.6).

## 3.2 الخبو والتعزيز العائدان لتعدد المسيرات وللآليات ذات الصلة

يجب أن تؤخذ في الاعتبار عدة آليات خبو في جو صاف تسببها طبقات جوية شديدة الانكسار، عند تخطيط وصلات راديوية يفوق طولها بضع الكيلومترات: وهذه الآليات هي تمديد الحزمة (المعروفه عادة في النصوص الإنكليزية التقنية بإزالة التبخير) وفك اقتران الهوائيات والانتشار السطحي عبر مسيرات متعددة والانتشار الجوي عبر مسيرات متعددة. ويمكن أن تحدث غالبية هذه الآليات بشكل مستقل أو بالاتلاع فيما بينها (انظر الملاحظة 1). ويحدث شكل قوي جداً من الخبو الانتقائى للترددات عندما ينضم تمديد حزمة الإشارة المباشرة مع انعكاس الإشارة على سطح الأرض فينتج خبواً بسبب تعدد

المسيرات. ويرافق دائمًا هذه الآليات خيوء بسبب التأثير على عدم الانتظام وإلى اضطرابات جوية ضيقة النطاق، لكن تأثيره في توزيع الخيوء الإجمالي يبقى غير ذي أهمية عند ترددات تحت 40 GHz تقريبًا.

**الملاحظة 1** – يحدد فك اقتران الموجات أدنى عرض لحرمة الموجات الذي يجب اختياره.

تعرض الفقرة 1.3.2 طرفيتين للتبؤ بتوزيع الخيوء الشديد العمق بتردد واحد (أو بنطاق ضيق) في متوسط الشهر الأسوأ في أي جزء من العالم. ولا تستخدم هذه الطريقة خصائص المسير بينما يمكن استعمالها في المراحل الأولية من التخطيط أو منح الشخص أو التصميم. أما الطريقة الثانية المعروضة في الفقرة 2.3.2 فهي ملائمة لكل قيم عمق الخيوء وتستعمل الطريقة لقيم الخيوء العميق جداً وتل JACK إلى إجراء استكمال داخلي عندما يكون عمق الخيوء منخفضاً.

تقديم الفقرة 3.3.2 طريقة للتبؤ بتعزيز الإشارات. وتستعمل الطريقة عمق الخيوء الذي تتبؤ به الطريقة المقدمة في الفقرة 1.3.2 باعتباره معلمة الدخل الوحيدة. وأخيراً تقدم الفقرة 4.3.2 طريقة لتحويل الشهر الأسوأ المتوسط إلى متوازن للتوزيع السنوي.

### 1.3.2 الطريقة المطبقة من أجل نسب مئوية صغيرة من الوقت

الخطوة 1: تقدير العامل المناخي الجغرافي  $K$  للشهر الأسوأ المتوسط بالنسبة إلى موقع المسير المعين، انطلاقاً من معطيات الخيوء في المنطقة في حال تيسيرها (راجع التذليل 1).

وإذا لم تتوفر المعطيات المقيدة لقيمة  $K$  وفي حال تطبيق طريقة تصميم مفصلة للوصلات (راجع الملاحظة 1) يُقدر العامل المناخي الجغرافي للشهر الأسوأ بواسطة المعادلة:

$$(4) \quad K = 10^{-4.4 - 0.0027dN_1} (10 + s_a)^{-0.46}$$

حيث:

$dN_1$ : تدرج الانكسار في نقطة معينة في أدنى 65 متراً من الجو لم يتم تجاوزها خلال 1% من متوسط السنة  $s_a$  هو تحديد نمط التضاريس الأرضية في هذه المنطقة

$N_1$ : يعطى في مخطط لخطوط العرض والطول من  $1^{\circ}, 1.5^{\circ}$  يرد في التوصية P.453 ITU-R. وينبغي الحصول على القيمة الدقيقة لخطي العرض والطول لنقطة منتصف المسير استناداً إلى قيم نقاط المخطط الأربع الأقرب بالاستكمال الداخلي بخطين. وتتوفر المعطيات على شكل جدول في مكتب الاتصالات الراديوية (BR) بشأن الموقع الإلكتروني للجنة الدراسات 3.

$s_a$ : يتحدد بأنه الانحراف المعياري لارتفاعات التضاريس ( بالأمتار ) في منطقة مساحتها  $110 \times 110 \text{ km}^2$  وباستثناء قدرها  $30 \text{ s}$  (مثال المعطيات "Globe gtopo30"). وينبغي أن تتحدد المنطقة طولانياً حيث يقع نصفها المتساويان على جانبي الخط الطولاني الذي يمر في نقطة وسط المسير. وتتوفر معطيات التضاريس على شبكة الإنترنت (يمكن الحصول على العنوان من مكتب الاتصالات الراديوية).

وإذا كان من الضروري حساب  $K$  بسرعة لأغراض التخطيط (راجع الملاحظة 1) يمكن إجراء حساب تقريري دقيق إلى حد ما بواسطة العلاقة:

$$(5) \quad K = 10^{-4.6 - 0.0027dN_1}$$

الخطوة 2: حساب ميل المسير  $|e_p|$  (mrad) استناداً إلى ارتفاع الموجتين  $h_r$  و  $h_e$  ( بالأمتار فوق مستوى سطح البحر)، وذلك بواسطة العلاقة:

$$(6) \quad |e_p| = |h_r - h_e| / d$$

حيث  $d$  هو طول المسير (km).

الخطوة 3: تحسب النسبة المئوية  $p_w$  من الوقت التي يتم أثناءها تجاوز عمق الخبو A (dB) في الشهر الأسوأ المتوسط بواسطة العلاقة التالية، وذلك لأغراض تصميم الوصلات الدقيق (راجع الملاحظتين 1 و 2):

$$(7) \quad p_w = Kd^{3.4} (1 + |\varepsilon_p|)^{-1.03} f^{0.8} \times 10^{-0.00076h_L - A/10} \%$$

حيث

$f$ : هو التردد (GHz)

$h_L$ : هو ارتفاع الموائي الأدنى (أي أصغر قيمة لارتفاعين  $h_r$  و  $h_e$ )

وحيث ينتج العامل الجغرافي المناخي  $K$  عن استعمال المعادلة (4).

ويمكن بالنسبة إلى تطبيقات التخطيط السريعة (الملاحظتان 1 و 2)، حساب النسبة المئوية  $p_w$  من الوقت التي يتم أثناءها تجاوز عمق الخبو A (dB) في الشهر الأسوأ بواسطة المعادلة:

$$(8) \quad p_w = Kd^{3.1} (1 + |\varepsilon_p|)^{-1.29} f^{0.8} \times 10^{-0.00089h_L - A/10} \%$$

حيث تنتج قيمة  $K$  من استعمال المعادلة (5).

**الملاحظة 1** – القيمتان العالميتان للانحراف المعياري لخطأ التنبؤ الناتجان عن استعمال المعادلين (4) و (7) أو لاً ثم (5) و (8) ثانياً هما 5,7 dB و 5,9 dB على التوالي (ما في ذلك القيمة الناجمة عن التغيرات من سنة إلى أخرى). ويطبق من بين الكم الواسع من المسيرات المبينة في هذه الأشكال أدنى انحراف معياري للخطأ وقدره 5,2 dB في المسيرات البرية التي يكون فيها  $h_L > 700$  m وأقصى انحراف معياري للخطأ وقدره 7,3 dB في المسيرات فوق المياه. غير أن الفرق البسيط بين قيم الانحراف المعياري العالمية لا تعكس بدقة تحسن التنبؤات التي يمكن الحصول عليه باستعمال المعادلين (4) و (7) في حال الوصلات في الأرضيات ذات التضاريس غير المنتظمة (الجبال مثلًا) أو في أرض شديدة الانتظام (المسيرات فوق المياه مثلًا). فقد انخفض الانحراف المعياري للخطأ في الوصلات الجبلية ( $h_L < 700$  m)، على سبيل المثال بمقدار 0,6 dB وفي الوصلات التي تمر فوق المناطق الجبلية المرتفعة بمقدار عدة ديسيل.

**الملاحظة 2** – تنتج المعادلات (7) و (8) و (4) و (5) المتعلقة بالعامل المناخي الجغرافي  $K$  من تراجمات متعددة لمعطيات الخبو في 251 وصلة في مناطق مناخية جغرافية مختلفة في العالم يتراوح طول مسيرها  $d$  بين 7,5 km و 185 km وتتراوح تردداتها  $f$  بين 37 MHz و 450 MHz و يصل ميل المسير  $|d\mu|$  إلى 37 mrad و يتراوح ارتفاع الموائي الأدنى  $h_L$  بين 17 m و 300 m و تدرج الانكسار  $dN_1$  بين -860 و -150 N وحدة/km و تباين في تضاريس السطح  $s_a$  بين 6 و 850 m (في حال  $s_a > 1$  m ينبغي استعمال حد أدنى قدره 1 m).

وتعتبر المعادلتان (7) و (8) أيضًا صالحتين للترددات التي تصل إلى 45 GHz كحد أدنى. وتشير نتائج تحليل شبه تجريبي إلى أن حد التردد الأدنى يتاسب عكساً مع طول المسير. ويمكن الحصول على تقدير تقريري لهذا الحد للتردد الأدنى،  $f_{min}$ ، باستعمال المعادلة التالية:

$$(9) \quad f_{min} = 15 / d \quad \text{GHz}$$

### 2.3.2 الطريقة المطبقة لجميع النسبة المئوية من الوقت

إن الطريقة التي يرد وصفها فيما بعد والتي تهدف إلى التنبؤ بالنسبة المئوية من الوقت التي يتم أثناءها تجاوز عمق الخبو تجمع بين توزيع الخبو العميق الواردة في الفقرات السابقة وبين إجراء الاستكمال الداخلي التجريبي للخبو قليل العمق والأقل من 0 dB.

**الخطوة 1:** يحسب عامل الانتشار بالمسيرات المتعددة  $p_0$  (أي القيمة في نقطة تقاطع منحني توزيع الخبو العميق ومحور النسب المئوية للوقت) وذلك باتباع الطريقة الواردة في الفقرة 1.3.2، على النحو التالي:

$$(10) \quad p_0 = Kd^{3.4} (1 + |\varepsilon_p|)^{-1.03} f^{0.8} \times 10^{-0.00076h_L} \%$$

وبالنسبة إلى تطبيقات تصميم الوصلات التفصيلي تستعمل قيمة  $K$  الناجمة من المعادلة (4)، على النحو التالي:

$$(11) \quad p_0 = Kd^{3.1} (1 + |\varepsilon_p|)^{-1.29} f^{0.8} \times 10^{-0.00089h_L} \%$$

وبالنسبة إلى تطبيقات التخطيط السريع تستعمل قيمة  $K$  الناتجة من المعادلة (5). وتجدر الإشارة إلى أن المعادلين (10) و(11) مكافئتان للمعادلين (7) و(8)، مع  $A = 0$ .

الخطوة 2: حساب قيمة عمق الخبو،  $A_t$ ، التي يحدث عندها الانتقال من توزيع الخبو العميق إلى توزيع الخبو قليل العمق حسب الاستكمال الداخلي التحريري:

$$(12) \quad A_t = 25 + 1.2 \log p_0 \quad \text{dB}$$

ويتوقف الإجراء عندئذٍ على ما إذا كانت  $A$  أكبر أم أصغر من  $A_t$ .

الخطوة 3أ): إذا كان عمق الخبو المطلوب  $A$  مساوياً لـ  $A_t$  أو أكبر منه:

تحسب النسبة المئوية من الوقت  $p_w$  التي يتم أثناءها تجاوز القيمة  $A$  خلال الشهر الأسوأ المتوسط:

$$(13) \quad p_w = p_0 \times 10^{-A/10} \quad \%$$

يلاحظ أن المعادلة (13) مكافئة للمعادلة (7) أو (8) وفق الحالـة.

الخطوة 3 ب): إذا كان عمق الخبو المطلوب  $A$  أقل من  $A_t$ :

تحسب النسبة المئوية من الوقت  $p_t$  التي يتم أثناءها تجاوز القيمة  $A_t$  في الشهر الأسوأ المتوسط كالتالي:

$$(14) \quad p_t = p_0 \times 10^{-A_t/10} \quad \%$$

يلاحظ أن المعادلة (14) مكافئة للمعادلة (7) أو (8) حسب الحالة مع  $A_t = A$ .

تحسب  $q'_a$  استناداً إلى قيمة خبو الانتقال  $A_t$  والنسبة المئوية لوقت الانتقال  $p_t$  كالتالي:

$$(15) \quad q'_a = -20 \log_{10} \left\{ -\ln \left[ \left( 100 - p_t \right) / 100 \right] \right\} / A_t$$

تحسب  $q_t$  استناداً إلى  $q'_a$  وقيمة خبو الانتقال  $A_t$  كالتالي:

$$(16) \quad q_t = \left( q'_a - 2 \right) / \left[ \left( 1 + 0.3 \times 10^{-A_t/20} \right) 10^{-0.016 A_t} \right] - 4.3 \left( 10^{-A_t/20} + A_t / 800 \right)$$

وتحسب  $q_a$  استناداً إلى قيمة الخبو  $A$  المطلوب كالتالي:

$$(17) \quad q_a = 2 + \left[ 1 + 0.3 \times 10^{-A/20} \right] \left[ 10^{-0.016 A} \right] \left[ q_t + 4.3 \left( 10^{-A/20} + A / 800 \right) \right]$$

وتحسب النسبة المئوية من الوقت  $p_w$ ، التي يتم أثناءها تجاوز عمق الخبو  $A$  (dB) في الشهر الأسوأ المتوسط كالتالي:

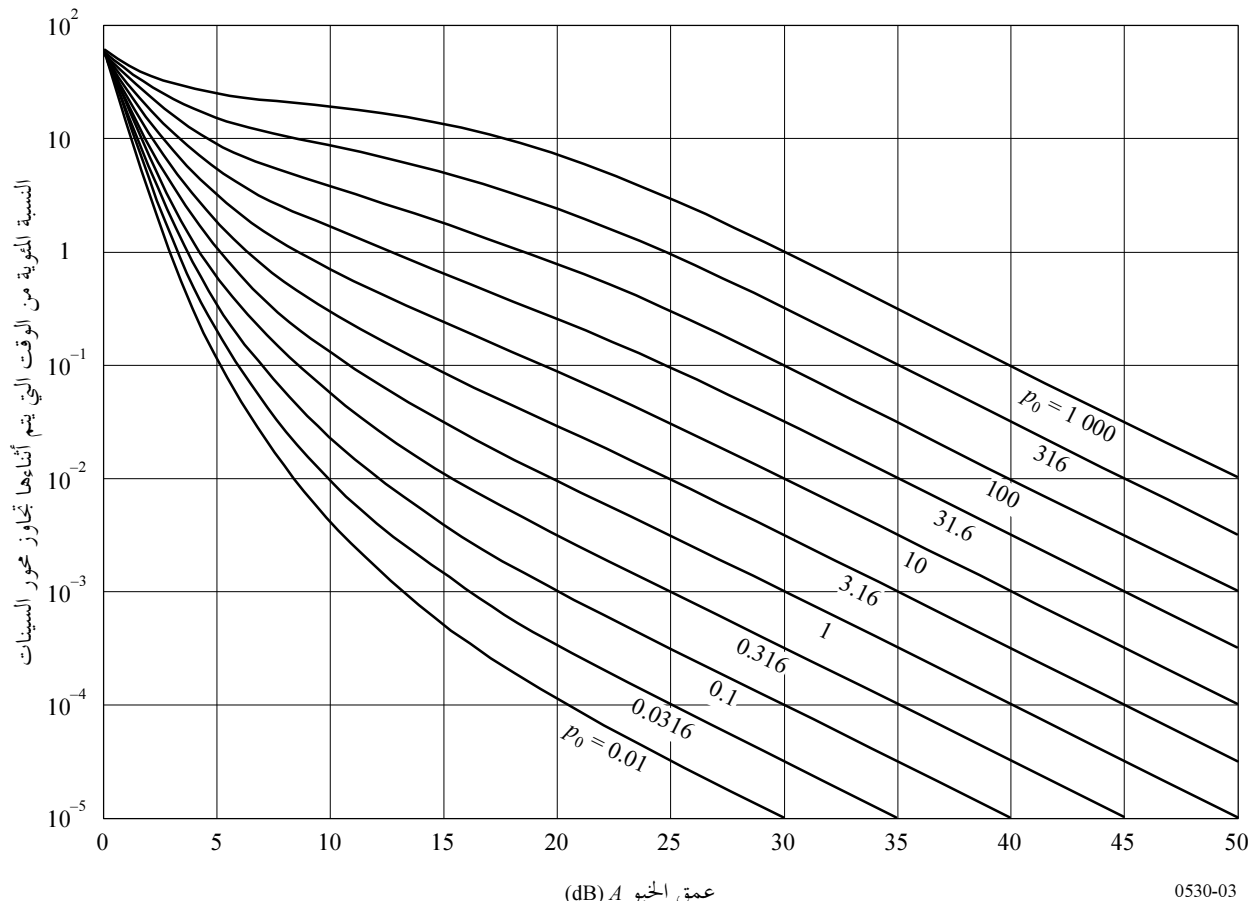
$$(18) \quad p_w = 100 \left[ 1 - \exp \left( -10^{-q_a A/20} \right) \right] \quad \%$$

ويعطي الإجراء المذكور أعلاه شرط أن يكون  $p_0 > 2000$  رتباً للقيمة  $p_w$  بالنسبة إلى  $A$  يمكن استعماله من أجل تحديد قيمة معينة لـ  $p_w$  بواسطة عملية تكرارية بسيطة.

وتقدم مجموعة المنحنيات المبينة في الشكل 3 مع المعلمة  $p_0$  عرضاً بيانياً للطريقة.

الشكل 3

النسبة المئوية من الوقت  $p_w$  التي يتم أثناءها تجاوز عمق الخبو  $A$  في الشهر الأسوأ المتوسط مع العلم بأن  $p_0$   
(المعادلة (10) أو (11) حسب الحالة) تتراوح بين 0,01 و 1 000



### 3.3.2 طريقة التنبؤ بالتعزيزات

تشاهد تعزيزات شديدة للإشارة خلال الظروف العامة نفسها للمجاري العديدة التي تؤدي إلى الخبو بسبب تعدد المسيرات. ويجب التنبؤ بتعزيزات فوق 10 dB في الشهر الأسوأ المتوسط بواسطة المعادلة التالية:

$$(19) \quad p_w = 100 - 10^{(-1.7 + 0.2 A_{0.01} - E)/3.5} \% \quad \text{for } E > 10 \text{ dB}$$

حيث  $E$  هو التعزيز (dB) الذي لا يتم تجاوزه أثناء نسبة  $p$  % من الوقت، و  $A_{0.01}$  هو عمق الخبو المتوقع المحسوب استناداً إلى المعادلة (7) أو (8) حسب الحالة والذي يتم تجاوزه أثناء نسبة مئوية  $p_w = 0.01$  % من الوقت.

يستعمل، من أجل التعزيز بين 10 و 0 dB، الإجراء خطوة-خطوة التالي:

الخطوة 1: تحسب النسبة المئوية من الوقت  $p'_w$  المقابلة لتعزيز يساوي 10 dB أو يقل عن هذه القيمة ( $E' = 10$ ) بواسطة المعادلة (19).

الخطوة 2: تحسب  $q'_e$  بواسطة المعادلة التالية:

$$(20) \quad q'_e = -\frac{20}{E} \left( \log_{10} \left[ -\ln \left( 1 - \frac{100 - p'_w}{58.21} \right) \right] \right)$$

الخطوة 3: تحسـب المعلـمة  $q_s$  بـواسـطة المعـادـلة التـالـيـة:

$$(21) \quad q_s = 2.05q'_e - 20.3$$

الخطوة 4: تحسـب  $q_e$  من أـجل قـيمـة  $E$  المرـغـوب فـيهـا بـواسـطة المعـادـلة التـالـيـة:

$$(22) \quad q_e = 8 + \left[ 1 + 0.3 \times 10^{-E/20} \right] \left[ 10^{-0.7E/20} \right] \left[ q_s + 12 \left( 10^{-E/20} + E/800 \right) \right]$$

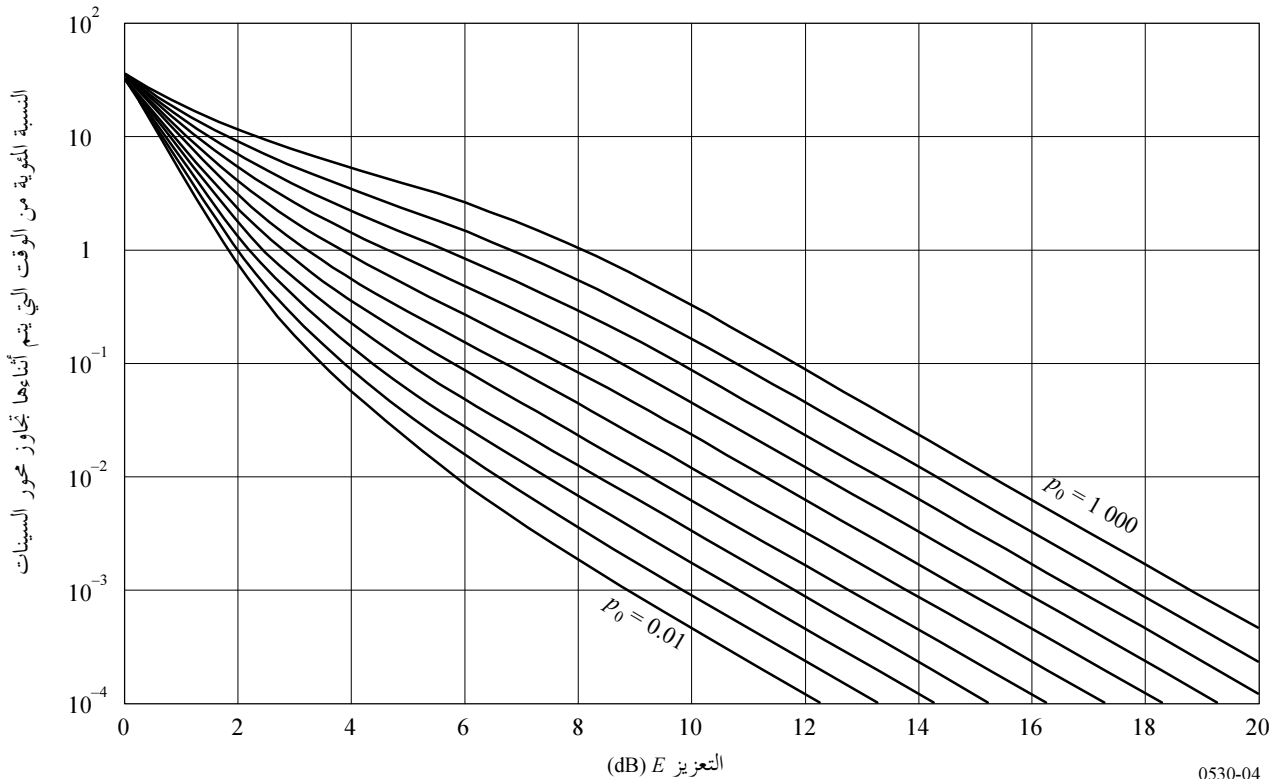
الخطوة 5: يحصل على النسبة المئوية من الوقت التي لا يتم أـثنـائـها تـجاـوزـ التـعزـيز  $E$  (dB) بـواسـطة المعـادـلة التـالـيـة:

$$(23) \quad p_w = 100 - 58.21 \left[ 1 - \exp \left( -10^{-q_e E/20} \right) \right]$$

تعطـي مـجمـوعـةـ المـنـحـنيـاتـ فيـ الشـكـلـ 4ـ تمـثـيلـاـ بـيـانـياـ لـلـطـرـيقـةـ،ـ معـ اـعـتـبارـ  $p_0$ ـ مـعـلـمـةـ (ـراـجـعـ المـعـادـلـةـ (10)ـ أوـ (11)ـ حـسـبـ الـحـالـةـ).ـ وـيعـادـلـ كـلـ مـنـحـنيـ فيـ الشـكـلـ 4ـ مـنـحـنيـ فيـ الشـكـلـ 3ـ لـهـ نـفـسـ قـيـمـةـ  $p_0$ ـ.ـ وـتحـدـدـ إـشـارـةـ إـلـىـ أـنـ الشـكـلـ 4ـ يـقـدـمـ النـسـبـةـ المـئـوـيـةـ منـ الـوقـتـ الـيـةـ يـتمـ أـثـنـائـهاـ تـجاـوزـ مـحـورـ السـينـيـاتـ

الشكل 4

النـسـبـةـ المـئـوـيـةـ مـنـ الزـمـنـ (100  $- p_w$ )ـ،ـ التـعزـيزـ  $E$ ـ الـذـيـ يـتـمـ تـجاـوزـهـ فـيـ الشـهـرـ الأـسـوـاـ المـتوـسـطـ  
مـعـ الـعـلـمـ بـأـنـ  $p_0$ ـ (ـالـعـادـلـةـ (10)ـ أوـ (11)ـ حـسـبـ الـحـالـةـ)ـ تـسـاـوـيـ بـيـنـ 0,01ـ وـ 1~000ـ



بالـنـسـبـةـ إـلـىـ التـبـؤـ بـالـنـسـبـةـ المـئـوـيـةـ مـنـ التـجاـوزـ فـيـ السـنـةـ الـمـتوـسـطـةـ بدـلـاـ مـنـ الشـهـرـ الأـسـوـاـ المـتوـسـطـ،ـ انـظـرـ الفـقـرـةـ 4.3.2ـ

### 4.3.2 التحويل من توزيع الشهر الأسوأ المتوسط إلى متوسط التوزيعات السنوية

يمكن تحويل توزيعات الخبو وتعزيز الإشارات للشهر الأسوأ المتوسط المحسوبة بالطائق المقدمة في الفقرات 1.3.2 إلى 3.3.2 إلى توزيع للسنة المتوسطة بواسطة الإجراء التالي:

الخطوة 1: تحسب النسبة المئوية من الوقت  $p_w$  التي يتم أثنائها تجاوز عمق الخبو  $A$  في الذيل الأكبر من التوزيع في الشهر الأسوأ المتوسط، بواسطة المعادلة (7) أو (8) حسب الحالـة.

الخطوة 2: يحسب عامل التحويل اللوغاريتمي المناخي الجغرافي  $\Delta G$  بواسطة المعادلة التالية:

$$(24) \quad \Delta G = 10.5 - 5.6 \log \left( 1.1 \pm |\cos 2\epsilon|^{0.7} - 2.7 \log d + 1.7 \log (1 + |\epsilon_p|) \right) \text{ dB}$$

حيث  $\Delta G \geq 10.8$  dB وحيث تستعمل العلامة الموجبة من أجل  $\epsilon \geq 45^\circ$ ، وتستعمل العلامة السالبة من أجل:  $\epsilon < 45^\circ$ ، وحيث:

$\epsilon$ : خط العرض ( $N^\circ$  أو  $S^\circ$ )

$d$ : طول المسير (km)

$|\epsilon_p|$ : ميل المسير (انطلاقاً من المعادلة (6)).

الخطوة 3: تحسب النسبة المئوية من الوقت  $p$  التي يتم أثنائها تجاوز عمق الخبو  $A$  في ذيل التوزيع ذي عمق الخبو الكبير في السنة المتوسطة بواسطة المعادلة التالية:

$$(25) \quad p = 10^{-\Delta G / 10} p_w \quad \%$$

الخطوة 4: عندما يطلب استعمال مدى الخبو قليل العمق في التوزيع، تتبع الطريقة المقدمة في الخطوة 3b للفقرة 2.3.2 مع إدخال التغييرات التالية:

(1) تحول قيمة  $p$  المتحصل عليها في المعادلة (14) إلى قيمة سنوية باستخدام المعادلة (25) واستخدام هذه القيمة السنوية بدلاً من  $p$  عندما تظهر في المعادلة (15).

(2) قيمة  $p_w$  المحسوبة بالمعادلة (18) هي القيمة السنوية المطلوبة  $p$ .

الخطوة 5: عندما يطلب التنبؤ بتوزيع تعزيزات الإشارات للسنة المتوسطة، تتبع الطريقة المقدمة في الفقرة 3.3.2. حيث هو الآن عميق الخبو الذي يتم تجاوزه في أثناء 0,01% من الوقت في السنة المتوسطة. ويحصل أولاً على  $p_w$  بقلب المعادلة (25) واستعمال  $p = 0,01\%$ . ثم يحصل على عميق الخبو  $A_{0,01}$  الذي يتم تجاوزه أثناء 0,01% من الوقت في السنة المتوسطة بقلب المعادلة (7) أو (8) حسب الحالـة واستعمال  $p$  بدلاً من  $p_w$ .

### 5.3.2 التحويل من الشهر الأسوأ المتوسط إلى الفترات الأسوأ الأقصر

يمكن تحويل النسبة المئوية من الوقت  $p_w$  التي يتم أثناءها تجاوز الخبو العميق  $A$  خلال الشهر الأسوأ المتوسط إلى نسبة مئوية من الوقت  $p_{sw}$  يتم أثناءها تجاوز نفس الخبو العميق في الفترة الأسوأ الأقصر من شهر  $T$  وذلك باستعمال المعادلات التالية:

بالنسبة إلى المسيرات في أراضٍ مسطحة نسبياً

$$(26) \quad p_{sw} = p_w \cdot (89,34T^{-0,854} + 0,676) \% \quad 1 \text{ h} \leq T < 720 \text{ h}$$

بالنسبة إلى المسيرات في أراضٍ جبلية على طول السواحل

$$(27) \quad p_{sw} = p_w \cdot (119T^{-0,78} + 0,295) \% \quad 1 \text{ h} \leq T < 720 \text{ h}$$

بالنسبة إلى المسيرات في أراضٍ مسطحة وجبلية

$$(28) \quad p_{sw} = p_w \cdot (199,85T^{-0,834} + 0,175) \% \quad 1 \text{ h} \leq T < 720 \text{ h}$$

الملاحظة 1 - تنتج المعادلات من (26) إلى (28) من المعطيات التي تتعلق بـ 25 وصلة تقع في مناطق معتدلة قُدرت القيمة  $p_w$  فيها استناداً إلى معطيات أشهر الصيف.

### 6.3.2 التساؤ بالانقطاع غير الانتقائي (راجع الملاحظة 1)

عند تصميم وصلة رقمية، يحسب احتمال الانقطاع  $P_{ns}$  العائد إلى مكون الخبو غير الانتقائي (راجع الفقرة 7) بواسطة الصيغة التالية:

$$(29) \quad P_{ns} = p_w / 100$$

حيث  $p_w$  (%) هي النسبة المئوية من الوقت التي يتم أثناءها تجاوز الحماية من الخبو المنتظم  $F = A$  (dB) المقابل لمعدل الخطأ في البتات (BER) خلال الشهر الأسوأ المتوسط (يحصل عليها من الفقرة 1.3.2 أو 2.3.2 حسب الحالة). ويمكن التوصل إلى هامش الحماية من الخبو المنتظم  $F$  من حساب الوصلة ومن المعلومات المتوفرة مع التجهيزات الخاصة كما يؤخذ في الاعتبار التخفيفيات المحتملة العائدة إلى تصميم الوصلة الفعلية.

**الملاحظة 1** - يحدد الانقطاع هنا للتبسيط بأنه احتمال أن يكون معدل الخطأ في البتات (BER) أعلى من عتبة معينة مهما كانت هذه العتبة، المزيد من المعلومات راجع الفقرة 7.

### 7.3.2 حدوث خبو متآون على وصلات متعددة القفزات

تشير شواهد تجريبية إلى أنه في ظروف الجو الصافي، فإن عمليات الخبو العميق على القفزات المتجاورة في وصلة متعددة القفزات تكاد تكون غير مترابطة على الإطلاق. وينطبق ذلك سواء حدث خبو لتردد انتقائي أو خبو منتظم أو الاثنين معاً.

وبالنسبة لوصلة متعددة القفزات، يمكن الحصول على حد أعلى لاحتمال الانقطاع الكلي في ظروف الجو الصافي بجمع احتمالات الانقطاع الخاصة بالقفزات الإفرادية. ويمكن تقدير الحد الأعلى الأقرب لاحتمال تجاوز عمق الخبو  $A$  (dB) في وصلة من عدد  $n$  من القفزات من (انظر الملاحظة 1):

$$(30) \quad P_T = \sum_{i=1}^n P_i - \sum_{i=1}^{n-1} (P_i P_{i+1})^C$$

$$(31) \quad C = 0.5 + 0.0052A + 0.0025(d_A + d_B)$$

حيث إن  $P_i$  هي احتمال الانقطاع المتوقع للقفزة  $i$ -th من إجمالي  $n$  من القفزات و  $d_i$  طول المسير (km) للقفزة  $i$ -th. ويجب استخدام المعادلة (31) عندما يكون  $A \geq 40$  dB و  $(d_i + d_{i+1}) \geq 120$  km. فوق هذه الحدود تكون قيمة  $C = 1$ .

**الملاحظة 1** - تم الحصول على المعادلة (31) استناداً إلى نتائج قياسات أجريت على 19 زوجاً من القفزات المتجاورة في خط البصر تعمل في النطاقين 4 و 6 GHz وبأطوال مسير في حدود من 33 إلى 64 km.

## 4.2 التوهين بسبب الماء الجوي

يمكن أن يحدث أيضاً التوهين نتيجة لامتصاص والانتشار بالماء الجوي مثل المطر والثلوج والبرد والضباب. ومع أنه من الممكن تجاهل التوهين بالمطر عند ترددات أدنى من 5 GHz تقريراً، إلا أنه يجب إدراجها في حسابات التصميم عند الترددات الأعلى، حيث تتزايد أهميته بصورة أسرع. وتعطي الفقرة 4.4.2 تقنية تقدير إحصائيات التوهين بالمطر على المدى الطويل. أما على المسيرات عند خطوط عرض عالية، أو في المسيرات المرتفعة عند خطوط عرض أدنى، يمكن أن تسبب الثلوج الرطبة توهيناً دلائلاً حتى على مدى أوسع من الترددات. وتقدم التوصية ITU-R P.840 معلومات أكثر تفصيلاً عن التوهين الذي يسببه الماء الجوي من غير المطر.

يمكن، عند الترددات التي يجب أن تراعى فيها تأثيرات التوهين بالمطر والخبو بسبب تعدد المسيرات، أن تضاف النسب المئوية لتجاوز عمق خبو معين المقابلة لكل من هاتين الآليتين.

#### 1.4.2 إحصائيات التوهين بسبب المطر على المدى الطويل

يمكن أن تستعمل التقنية البسيطة التالية لتقدير إحصائيات التوهين بالمطر على المدى الطويل:

الخطوة 1: يحسب معدل المطر  $R_{0,01}$  الذي تم تجاوزه أثناء 0,01% من الوقت (مع وقت تكامل من دقة واحدة). وإذا لم تتوفر هذه المعلومات حول القياسات على المدى الطويل من مصادر محلية، يمكن إجراء تقدير لها انطلاقاً من المعلومات المقدمة في التوصية ITU-R P.837.

الخطوة 2: يحسب التوهين المعين  $\gamma_R$  (dB/km) من أجل عوامل التردد والاستقطاب ومعدل المطر المعنية بالاستناد إلى التوصية ITU-R P.838.

الخطوة 3: يحسب طول المسير الفعال  $d_{eff}$  للوصلة من خلال ضرب طول المسير الفعلي  $d$  بعامل المسافة  $r$ . وتعطي العلاقة التالية تقديرأً لهذا العامل:

$$(32) \quad r = \frac{1}{1 + d / d_0}$$

حيث، ومن أجل  $R_{0,01} \leq 100 \text{ mm/h}$

$$(33) \quad d_0 = 35 e^{-0.015 R_{0,01}}$$

وستعمل قيمة 100 mm/h بدلاً من أجل  $R_{0,01} > 100 \text{ mm/h}$ .

الخطوة 4: تعطي العلاقة التالية تقديرأً للتوهين على المسير الذي يتم تجاوزه أثناء 0,01% من الوقت:

$$(34) \quad A_{0,01} = \gamma_R d_{eff} = \gamma_R dr \quad \text{dB}$$

الخطوة 5: يمكن استخلاص التوهين الذي يتم تجاوزه أثناء نسب مئوية أخرى من الوقت  $p$  في المدى من 0,001% إلى 1% بالنسبة إلى الوصلات الراديوية الواقعة في خطوط عرض 30° أو أكثر (شمالاً أو جنوباً) انطلاقاً من القانون الأسوي التالي:

$$(35) \quad \frac{A_p}{A_{0,01}} = 0.12 p^{-(0.546 + 0.043 \log_{10} p)}$$

لقد حددت هذه العبارة لإعطاء العوامل 0,12 و 0,39 و 1 و 2,14 من أجل 1% و 0,1% و 0,01% و 0,001% على التوالي، و يجب ألا تستعمل إلا داخل هذا المدى.

الخطوة 6: يمكن استخلاص قيم التوهين الذي يتم تجاوزه أثناء نسب مئوية أخرى من الوقت  $p$  في المدى من 0,001% إلى 1% بالنسبة إلى الوصلات الراديوية الواقعة في خط عرض أقل من 30° (شمالاً أو جنوباً)، استناداً إلى القانون الأسوي التالي:

$$(36) \quad \frac{A_p}{A_{0,01}} = 0.07 p^{-(0.855 + 0.139 \log_{10} p)}$$

وتتحدد هذه الصيغة على نحو تعطي فيه العوامل 0,07 و 0,36 و 1 و 1,44 للنسب 1% و 0,1% و 0,01% و 0,001% على التوالي، و ينبغي عدم تطبيقها إلا في هذا المدى.

الخطوة 7: عندما يكون الحصول على إحصائيات الشهر الأسوأ مرغوباً فيه، تحسب النسب المئوية السنوية من الوقت  $p$  المقابلة للنسب المئوية  $p_w$  للشهر الأسوأ، من خلال المعلومات عن المناخ المحددة في التوصية ITU-R P.841. وبالنسبة إلى قيم  $A$  التي يتم تجاوزها لنسب مئوية معينة من الوقت  $p$  على أساس السنة، يتم تجاوزها أيضاً في أثناء النسب المئوية المقابلة من الوقت  $p_w$  على أساس الشهر الأسوأ.

ويعتبر إجراء التنبؤ المشار إليه أعلى صالحًا في كل أنحاء العالم، على الأقل عند ترددات تصل إلى 40 GHz، ومن أجل قيم لطول المسير تصل إلى 60 km.

## 2.4.2 طريقة مشتركة للمطر والثلوج البوطة

يعتبر التوهين  $A_p$  الذي يتم تجاوزه لنسبة مئوية من الوقت  $p$  والمتحصل عليه من القسم الفرعي السابق سارياً بالنسبة لمسيرات الوصلة التي يحدث خلالها هطول للأمطار السائلة فقط.

بالنسبة لخطوط العرض العالية أو الارتفاعات العالية للوصلة، يمكن تجاوز قيم أكبر للتوهين في نسبة مئوية من الوقت  $p$  بسبب تأثير جسيمات الثلوج الذائبة أو الثلوج البوطة في طبقة الانصهار. ويتم تحديد حدوث هذا التأثير بواسطة ارتفاع الوصلة طبقاً لارتفاع المطر وهو ما يختلف طبقاً لموقع الجغرافي. ويؤخذ في الاعتبار تغير قدره صفر درجة ارتفاع مطر في الطريقة التالية بأخذ 49 قيمة ارتفاع بالنسبة ل المتوسط ارتفاع المطر مع احتمال مصاحب لكل قيمة منها مدرج بالجدول 1.

والطريقة التالية غير مطلوبة في حال معرفة أن الوصلة لا تتأثر مطلقاً بطبقة الانصهار. وفي حال عدم معرفة ذلك، يجب استخدام الحسابات الخاصة بالمطر الواردة أعلاه لحساب  $A_p$  ثم اتباع الخطوات التالية بعد ذلك:

**الخطوة 1:** يتم الحصول على ارتفاع المطر المتوسط،  $h_{rainm}$ ، وهو عبارة عن أمتار فوق مستوى سطح البحر (amsl) من التوصية ITU-R P.839.

**الخطوة 2:** يحسب ارتفاع المطر الخاص بمركز مسیر الوصلة،  $h_{link}$ ، معأخذ متوسط لتقوس سطح الأرض في الاعتبار باستخدام الصيغة:

$$(37) \quad h_{link} = 0.5(h_1 + h_2) - (D^2 / 17) \text{ m amsl}$$

حيث:

$h_1$ : ارتفاع طرف الوصلة (amsl)

$D$ : طول المسير (km).

**الخطوة 3:** يمكن الآن إجراء اختبار لتحديد ما إذا كانت هناك إمكانية لحدوث توهين إضافي. فإذا كان  $h_{link} \leq h_{rainm} - 3600$  فإن الوصلة لن تتأثر بظروف طبقة الانصهار ويمكن اعتبار  $A_p$  هو التوهين المتتجاوز بالنسبة إلى  $p\%$  من الوقت ويمكن إيقاف هذه الطريقة. وخلاف ذلك، فإن الطريقة تستمر بالخطوات التالية:

**الخطوة 4:** يتم البدء بعامل ضرب،  $F$ ، قدره صفر.

**الخطوة 5:** بالنسبة للقيم المتتابعة للرقم  $i$  من صفر إلى 48، على الترتيب:

(أ) يتم حساب ارتفاع المطر،  $h_{rain}$ ، باستخدام الصيغة:

$$(38) \quad h_{rain} = h_{rainm} - 2400 + 100i \text{ m amsl}$$

(ب) يتم حساب ارتفاع الوصلة بالنسبة لارتفاع المطر باستخدام الصيغة:

$$(39) \quad \Delta h = h_{link} - h_{rain} \text{ m}$$

(ج) يتم حساب القيمة المضافة إلى عامل الضرب لهذه القيمة من الرقم  $i$ :

$$(40) \quad \Delta F = \Gamma(\Delta h)P_i$$

حيث:

$\Gamma(\Delta h)$ ، معامل ضرب يراعي اختلاف قيم التوهين المحددة طبقاً لارتفاع بالنسبة لارتفاع المطر ويتحصل عليه من الصيغة:

$$(41) \quad \Gamma(\Delta h) = \begin{cases} 0 & , \quad 0 < \Delta h \\ \frac{4(1-e^{\Delta h/70})^2}{\left(1+\left(1-e^{-(\Delta h/600)^2}\right)^2\left(4(1-e^{\Delta h/70})^2-1\right)\right)} & , \quad -1200 \leq \Delta h \leq 0 \\ 1 & , \quad \Delta h < -1200 \end{cases}$$

و $P_i$  هي الاحتمال الذي يمكن أن تكون فيه الوصلة عن الارتفاع  $\Delta h$  وقيمة الاحتمال مأخوذة من الجدول 1.

د) يتم إضافة  $\Delta F$  للقيمة الحالية للعامل  $F$ . ويمكن تمثيل هذه العملية بالإجراء الخاص بالصيغة:

$$(42) \quad F = F + \Delta F \text{ dB}$$

المخطوة 6: يتم حساب التوهين المجمع للمطر والثلوج الرطبة باستخدام الصيغة:

$$(43) \quad A_{rs} = A_p \cdot F$$

وطبقاً لارتفاع الوصلة بالنسبة لارتفاع المطر المتوسط، يمكن أن يكون  $A_{rs}$  أكبر من أو أقل من  $A_p$ . ومن الممكن بالقرب من قطبي الأرض أن تكون الوصلة عادة فوق ارتفاع المطر وعندها يكون  $A_{rs}$  صفرًا.

الجدول 1

$P_i$	الرقم "i"	
	أو	سواء
0,000555	48	0
0,000802	47	1
0,001139	46	2
0,001594	45	3
0,002196	44	4
0,002978	43	5
0,003976	42	6
0,005227	41	7
0,006764	40	8
0,008617	39	9
0,010808	38	10
0,013346	37	11
0,016225	36	12
0,019419	35	13
0,022881	34	14
0,026542	33	15
0,030312	32	16
0,034081	31	17
0,037724	30	18
0,041110	29	19
0,044104	28	20
0,046583	27	21
0,048439	26	22
0,049588	25	23
0,049977	24	

### 3.4.2 تدريج التردد في إحصائيات التوهين بسبب المطر على المدى الطويل

عندما توجد إحصائيات موثوقة للتهين على مدى طويق عند تردد واحد، يمكن استعمال العلاقة التجريبية التالية للحصول على تقدير تقريري للاحصائيات التوهين عند الترددات الأخرى الواقعه في المدى من 7 إلى 50 GHz لنفس طول القفزة وفي نفس المنطقة المناحية:

$$(44) \quad A_2 = A_1 (\Phi_2 / \Phi_1)^{1 - H(\Phi_1, \Phi_2, A_1)}$$

حيث:

$$(45) \quad \Phi(f) = \frac{f^2}{1 + 10^{-4} f^2}$$

$$(46) \quad H(\Phi_1, \Phi_2, A_1) = 1.12 \times 10^{-3} (\Phi_2 / \Phi_1)^{0.5} (\Phi_1 A_1)^{0.55}$$

حيث  $A_1$  و  $A_2$  هما قيمتان متساویتان في الاحتمال للزيادة في توهين المطر عند الترددين  $f_1$  و  $f_2$  (بوحدات GHz)، على التوالي.

### 4.4.2 تدريج الاستقطاب في إحصائيات التوهين بسبب المطر على المدى الطويل

عندما توجد إحصائيات للتهين على مدى طويق عن استقطاب واحد (رأسی أو أفقی) على وصلة معينة، يمكن تقدير التوهين للاستقطاب الآخر على الوصلة نفسها بواسطة العلاقة البسيطة التالية:

$$(47) \quad A_V = \frac{300 A_H}{335 + A_H} \quad \text{dB}$$

أو

$$(48) \quad A_H = \frac{335 A_V}{300 - A_V} \quad \text{dB}$$

وهاتان العلاقاتان صالحتان في مدى أطوال المسيرات والترددات الصالحة لطريقة التنبؤ الواردة في الفقرة 1.4.2.

### 5.4.2 إحصائيات مدد الخبو ومرات حدوثه

بالرغم من قلة المعلومات عن التوزيع العالمي لمدد الخبو حتى يومنا هذا توفر بعض المعطيات ونموذج تجاري لبعض الإحصائيات الخاصة مثل المدة المتوسطة للخبو وعدد مرات حدوثه. ومن الواضح أن معدل الخبو بالمطر أقل بكثير من معدل الخبو بسبب تعدد المسيرات. ومن ناحية أخرى، تختلف القيمة الوسط والمقدمة المتوسطة لمدة الخبو ويشير ذلك إلى تخالف توزيع مدد الخبو. علاوة على ذلك، هناك علامات كثيرة تدل على أن مدة الخبو في المطر أعلى بكثير منها في حال الانتشار بالمسيرات المتعددة.

ويتحدد الخبو هنا بأنه تجاوز قيمة التوهين  $A$  أثناء فترة ما من الوقت (مثلاً 10 s أو أكثر). وتعطى العلامة بين عدد مرات حدوث الخبو  $N(A)$  والمدة المتوسطة  $D_m(A)$  لهذا الخبو والمدة الكلية  $T(A)$  التي يتم تجاوز التوهين  $A$  أثناءها في فترة زمنية أطول من قيمة محددة في المعادلة:

$$(49) \quad N(A) = T(A) / D_m(A)$$

وتعلق المدة الكلية  $T(A)$  للخبو بتعريف حادث الخبو. والخبو الذي يهم التطبيقات عموماً هو التوهين  $A$  الذي تساوي مدته أو تفوق  $10\text{ s}$ . غير أن الخبو الأقصر (مثل فاصل اعtinyان مدته  $1\text{ s}$  يستعمل في التجارب) مفيد أيضاً لتحديد النسبة المئوية من وقت الانقطاع الكلي الناجم عن عدم التيسير (أي المدة الكلية للخبو التي تساوي أو تفوق  $10\text{ s}$ ).

ويمكن تمثيل عدد مرات الخبو الذي يتجاوز قيمة التوهين  $A$  أثناء  $10\text{ s}$  أو أكثر بالمعادلة التالية:

$$(50) \quad N_{10\text{ s}}(A) = a A^b$$

مع العلم بأن  $a$  و  $b$  هما المعاملان اللذان يفترض ارتباطهما بالتردد وطول المسير ومتغيرات أخرى مثل المناخ. واستناداً إلى مجموعة قياسات أجريت على مسیر طول  $15\text{ km}$  وتردد  $18\text{ GHz}$  في شبه الجزيرة الاسكندنافية تكون القيمتان  $a$  و  $b$  المقدرتان خلال سنة كاملة كالتالي:

$$(51) \quad a = 5.7 \times 10^5 \quad b = -3.4$$

وبعد تحديد القيمة  $N_{10\text{ s}}(A)$  استناداً إلى المعادلة (50)، يمكن حساب مدة الخبو المتوسطة التي تساوي  $10\text{ s}$  أو تزيد عنها عن طريق عكس المعادلة (49).

ويتيح محمل القياسات المذكورة سابقاً (مسير طوله  $15\text{ km}$  بتردد  $18\text{ GHz}$ ) الإرجاع إلى عدم التيسير نسبة تتراوح بين 95% و100% من جميع الظواهر الناجمة عن المطر والتي يتتجاوز مستواها  $15\text{ dB}$  تقريباً. وبعد معرفة هذا الجزء يمكن حساب التيسير عن طريق ضربه في النسبة المئوية من الوقت الذي يتم أثناءه تجاوز قيمة التوهين  $A$  المعينة حسب الطريقة الواردة في الفقرة 1.4.2.

#### 6.4.2 الخبو الناجم عن المطر في الشبكات متعددة القفزات

هناك عدة تشكيّلات متعددة القفزات هامة في الشبكات من نقطة إلى نقطة التي تؤدي فيها البنية غير المنتظمة للماء الجوي دوراً ولا سيما التشكيّلة التي تحوي سلسلة من القفزات في شبكة ترادفية أو عدة سلسلات من القفزات في شبكة تعتمد تنوع المسار.

##### 1.6.4.2 طول القفزات في شبكة ترادفية

يتأثر أداء الإرسال الإجمالي لنظام ترادف إلى حد كبير بخصائص انتشار الوصلات المختلفة. ويمكن، أحياناً، أن تتحقق الوصلة المادية الإجمالية نفسها بواسطة تركيبات مختلفة لطول القفزات. وتؤدي حتماً زيادة طول القفزات إلى زيادة احتمالات الانقطاع على هذه القفزات. ويمكن، من ناحية أخرى، أن تتطلب هذه الخطوة تنفيص عدد القفزات، وقد لا يؤدي ذلك إلى انحطاط الأداء الإجمالي للنظام الترادف.

##### 2.6.4.2 خبو متزامن على المسيرات الترادفية

لو كان هطول الأمطار مستقلاً إحصائياً عن المكان، لتحدد الاحتمال الإجمالي للخبو في سلسلة خطية من الوصلات الترادفية، بتقرير جيد، بواسطة العلاقة التالية:

$$(52) \quad P_T = \sum_{i=1}^n P_i$$

حيث  $P_i$  هو الوصلة من الرتبة  $i$  على عدد كلي  $n$  من الوصلات.

وإذا كانت أحداث المواتل<sup>١</sup>، من ناحية أخرى، متزامنة على منطقة محدودة، يصبح أيضاً التوهين على وصلتين أو أكثر من نظام متعدد للفرزات مترابطاً، ويمكن في هذه الحالة أن يكتب احتمال الخبو المركب على النحو التالي:

$$(53) \quad P_T = K \sum_{i=1}^n P_i$$

حيث  $K$  هو عامل تعديل يشمل التأثير الإجمالي لترابط هطول الأمطار.

لا توجد دراسات كثيرة حول هذا الموضوع. وقد اهتمت إحداها بدراسة الترابط الآني بين هطول الأمطار في موقع مختلف تقع على طول طريق شرق-غرب، موازية تقريباً للاتجاه السائد لحركة العواصف، بينما عمدت دراسة أخرى إلى مراقبة التوهين الحاصل على سلسلة من الفرزات القصيرة الموجهة شمال-جنوب أو موازية تقريباً للاتجاه السائد للعواصف في فصل أقصى هطول للأمطار.

بالنسبة إلى حالة الوصلات الموازية لاتجاه حركة العواصف، كانت تأثيرات الترابط لسلسلة من الوصلات يبلغ طول كل منها 1 km، تأثيرات ضعيفة. وكان عامل التعديل  $K$  في هذه الحالة أكبر من 0,9 لأنقطاع يستحثه المطر مدته 0,03%، ويمكن من ثم تجاهله (انظر الشكل 5). غير أنه في حالة قفزات أقصر، تصبح التأثيرات أكثر دلالة، ويكون احتمال الانقطاع الإجمالي من أجل 10 وصلات بطول 20 و 5 km لكل منها، بنسبة 80% و 65% و 40% من توقع عدم الارتباط، على التوالي (عوامل تعديل من 0,8 و 0,65 و 0,4). ويدو أن تأثير ارتباط هطول الأمطار يكون أكبر في الفرزات الأولى القليلة ثم يتضاعل كلما تزايد الطول الإجمالي للسلسلة.

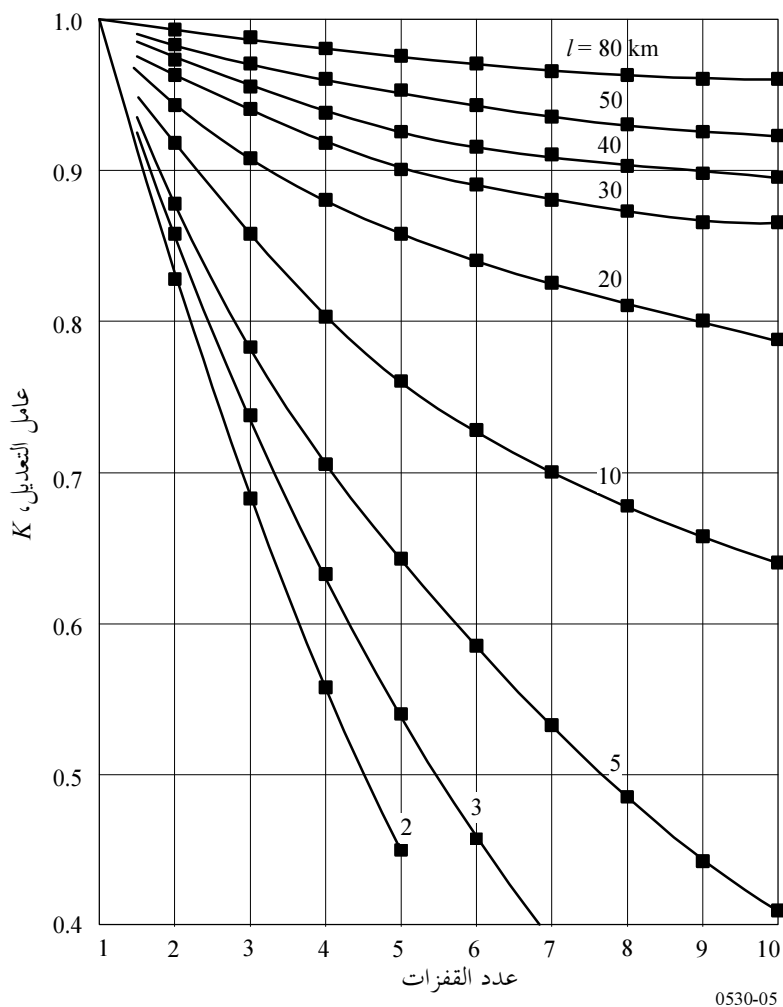
ويبيّن الشكل 6 عوامل التعديل في حالة الانتشار في الاتجاه متزامن مع الاتجاه السائد لحركة العاصفة. وتتحفظ عوامل التحويل، في هذه الحالة، بشكل أسرع في الفرزات الأولى القليلة (التي تدل على ارتباط أقوى على مسافات قصيرة مما هو عليه في حالة الانتشار الموازي لحركة العواصف)، وتحافظ فيما بعد على قيم ثابتة نسبياً (وهذا ما يدل على ارتباط أضعف على مسافات طويلة).

#### 3.6.4.2 شبكات تنوع المسار

نظراً إلى إمكانية حدوث تغيير كبير في البنية الأفقية للهواطل على مسافة تقل عن الكيلومتر فإن الشبكات باختلاف المسار قد تضم قفزتين ترادفيتين أو أكثر في مسار يختلف أو أكثر. وبالرغم من عدم توفر معلومات بشأن تحسين التنوع في شبكات تنوع المسار الكاملة توجد بعض البيانات المتعلقة ببعض عناصر هذه الشبكة وخصوصاً فيما يتعلق بالمسيرين المتقاربين باتجاه عقدة الشبكة والمسيرات شبه المتوازية والمتباعدة أفقياً.

الشكل 5

عامل التعديل لتوهين مشترك بسبب المطر على سلسلة من الوصلات الترددية ذات أطوال متساوية،  $l$ ، لاحتمال تجاوز قدره  $0.03\%$  لكل وصلة



#### 1.3.6.4.2 المسيرات التقاريرية

تقديم التوصية ITU-R P.1410 معلومات عن عامل تعديل الاختلاف في المسيرات التقاريرية في أدنى مدى للموجات المليمترية. وبالرغم من أن هذه التوصية قد أعدت لأغراض التطبيقات بين نقطة ثابتة ومنطقة ما، فإنها تعطي تعليمات عامة بشأن التحسين الذي أدخلته مثل هذه العناصر لشبكة باختلاف التسبيير (أو متشابكة) من نقطة إلى نقطة أو لربما إلى نقطتين.

وتعرض آلياً الوصلات التقاريرية من نقطة إلى نقطة إلى أعمال خبو مختلفة بسبب التغير العشوائي للطقس والتوزيع المكاني لمعدل هطول المطر. وقد يحصل نتيجة لذلك انحطاط في نسبة التداخل إلى الإشارة بين الوصلات بين المستعملين في قطاعات زاوية مختلفة عند حدوث خبو الإشارة في مسيرها بسبب المطر بينما لا يتأثر التداخل بذلك.

ويمكن تقدير توزيع الخبو التراكمي التفاضلي الناجم عن المطر في وصلتين متقاربتين عاملتين بنفس التردد باستعمال العلاقة التالية (راجع الملاحظة 1):

$$(54) \quad A_{12}(p) = [A_1(p) - 0.34 A_2(p)] \left( 2.65 |\theta|^{0.23} + 0.004 |\Delta d|^{2.25} \right) f^{-0.4} \quad \text{dB}$$

حيث  $p$  هي النسبة المئوية من الوقت التي تتراوح بين 0,01% و 0,01%، و  $f$  (GHz) التردد و  $d$  (Km) فرق طويل المسير، و  $\theta$  الزاوية الواقعه بين وصلتين وتتراوح بين 0° و 180°.  $A_1(p)$  و  $A_2(p)$  هما قيمتا الخبو الناجم عن المطر اللتان يتم تجاوزهما في الوصلات الإفرادية أثناء  $p$ % من الوقت وتحسبان باتباع الطريقة الواردة في الفقرة 1.4.2.

**الملاحظة 1** - تستند المعادلة (54) إلى نتائج قياسات أجريت على 36 زوجاً من الوصلات التقاريرية بترددات المدى المخصوص بين 15 و 38 GHz وطول مسیر يتراوح بين 1 و 23 km.

#### 2.3.6.4.2 المسيرات المتوازية المتبااعدة أفقياً

تقدم معطيات جمعت في المملكة المتحدة في المدى 20-40 GHz دليلاً عن التحسن في اعتمادية الوصلة الذي يمكن تحقيقه عند استعمال المسيرات المتوازية في شبكات الاختلاف بتبدل المسيرات. أما كسب التنوع (أي الفرق بين التوهين dB) الذي يتم تجاوزه في أثناء نسبة مئوية معينة من الوقت على وصلة واحدة والتوهين الذي يتم تجاوزه في آن واحد على وصلتين متوازيتين) فيكون على النحو التالي:

- يميل إلى التناقص كلما زاد طول المسير عن 12 km أثناء نسبة مئوية معينة من الوقت ومن أجل فصل جانبي معين بين المسيرين،

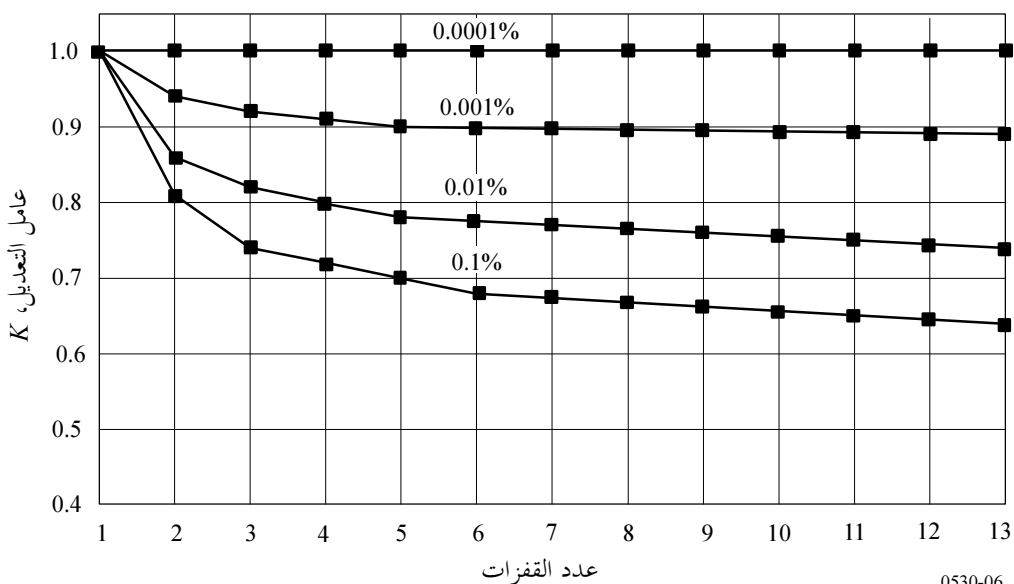
- يكون عادة أكبر في حالة فصل من 8 km مما هو عليه عندما يكون الفصل بقيمة 4 km، مع أن زيادة هذه المباعدة إلى 12 km لا توفر تحسيناً إضافياً،

- لا يتعلق بالتردد تعلقاً ملماساً داخل المدى 20-40 GHz وبالنسبة إلى هندسة معينة، يتراوح بين 2,8 dB تقريباً أثناء 0,1% من الوقت و 4,0 dB في 0,001% من الوقت، مع مباعدة من 8 km وطول المسير بالقيمة نفسها تقريباً. وتتراوح القيم بين 1,8 و 2,0 dB من أجل مباعدة من 4 km.

الشكل 6

عامل التعديل لتوهين مشترك بسبب المطر على سلسلة من الوصلات الترادفية  
طول كل منها 4,6 km تقريباً لعدة سويات لاحتمال التجاوز  
لكل وصلة من الوصلات

(مايو 1975 – مارس 1979)



#### 4.6.4.2 مسارات بمكررات منفعلة

##### 1.4.6.4.2 مكررات مستوى العاكس

فيما يتعلق بالمسيرات ذات الفرعين أو أكثر (مجموع الفروع  $N$ ) والتي يستعمل لكل منها مستوى عاكسات منفصلة والتي تكون فروعها متوازية بفارق درجات قليلة (انظر الملاحظة 1)، يحسب التوهين الناجم عن المطر على طول المسير باستبدال طول المسير كالتالي:

$$(55) \quad d = d_{leg1} + d_{leg2} + \dots + d_{legN} \quad \text{km}$$

في طريقة الفقرة 1.4.2 بما فيها حساب عامل تناقص المسافة في المعادلة (32).

**الملاحظة 1** - لا يمكن حالياً إعطاء تعليمات صارمة حول كيفية توازي التفرعات. وإذا لم يكن مسار التفرع موازياً ينتج عن المعادلة (55) عامل تناقص  $r$  في المعادلة (32) أصغر مما يجب وبالتالي يحصل سوء تقدير للتوهين الكلي الفعال. وقد يستحسن حل هذه المشكلة استعمال كل من المعادلة (55) وطول المسير الناتج عن طريق جمع ثباتي أول وأخر تفرع في حساب عامل التناقص كل على حدة ثم حساب المتوسط.

وتحت طريقة بدائلة تكمن في اعتبار التفرعات مسارات منفصلة وتطبيق الطريقة التي تنص عليها الفقرة 6.4.2.

#### 2.4.6.4.2 مكررات بثوابيات متعاكسة

عندما يستعمل تفرعاً مسار أو أكثر نفس الاستقطاب تحسب إحصائيات التوهين باستعمال الطريقة الواردة في 1.4.6.4.2 فيما يتعلق بمستوى العاكس.

وإذا استعملت تفرعات المسار استقطابات مختلفة تطبق طريقة الفقرة 1.4.2 مع المعادلة (55) لكل من الاستقطابين الأفقي والعمودي من أجل الحصول على النسبتين المؤقتتين من الوقت  $p_H$  و  $p_V$  اللتين تم أثناءهما تجاوز التوهين المطلوب (انظر الملاحظة 1) في الاستقطابين الأفقي والعمودي على التوالي. وتستعمل المعادلة (55) لحساب طول المسير الكلي  $d_H$  لهذه التفرعات التي تستعمل الاستقطاب الأفقي وكذلك لحساب طول المسير الكلي  $d_V$  للتفرعات التي تستعمل الاستقطاب العمودي. ثم تحسب النسبة المئوية من الوقت  $p$  التي تم أثناءها تجاوز التوهين المحدد على طول المسير (راجع الملاحظة 2):

$$(56) \quad p = \frac{p_H d_H + p_V d_V}{d_H + d_V} \quad \%$$

**الملاحظة 1** - بما أن الطريقة الواردة في الفقرة 1.4.2 تعطي التوهين الذي تم تجاوزه أثناء نسبة مئوية معينة من الوقت يمكن تحويلها رقمياً من أجل الحصول على النسبة المئوية من الوقت التي تم أثناءها تجاوز توهين معين.

**الملاحظة 2** - في حال انحراف تفرعات المسير عن التوازي بعضها بالنسبة إلى البعض الآخر وبشكل كبير يستحسن استخدام طريقة شبيهة بتلك المقترنة في الملاحظة 1 من الفقرة 1.4.6.4.2 من أجل تحسين الانحراف. وفي هذه الحالة ينبغي حساب التوهين لكل استقطاب على حدة.

#### 7.4.2 التنبؤ بالانقطاع الناجم عن الهواطل

عند تصميم وصلة رقمية، يحسب احتمال تجاوز التوهين بسبب المطر  $P_{rain}$  لامanch الحماية من الخيو المتنظم  $F$  (dB) (راجع الفقرة 5.3.2) لمعدل الخطأ في البتات (BER) المعنى من الصيغة التالية:

$$(57) \quad P_{rain} = p_x / 100$$

حيث  $p$  (%) هي النسبة المئوية من الوقت التي يتجاوز خلالها التوهين بسبب المطر  $F$  (dB) في السنة المتوسطة ويمكن التوصل إليها بحل المعادلة (35) الواردة في الفقرة 1.4.2.

### 3 تغيرات زاوية الوصول وأو زاوية الانطلاق

يمكن أن تسبب تدرجات شاذة في دليل الانكسار في الجو الصافي على طول المسير، تغيرات كبيرة جداً في زوايا الوصول والانطلاق للموجات المرسلة والموحات المستقبلة. وتكون هذه الترددات شبه مستقلة عن التردد وتحدث أولاً في المستوى الرئيسي للهوائيات ويكون مدى الزوايا أكبر في مناطق الشواطئ الوعرة مما هو عليه في المناطق الداخلية الجافة. ولم تشاهد تغيرات دلالية أثناء حالات المطر.

ويمكن أن يكون التأثير كبيراً على مسارات طويلة تستعمل فيها هوائيات بحجم ضيق وكسب عال. فإذا كان عرض الحزمة ضيقاً، يمكن أن يبقى اتجاه الموجة المعادرة/الواصلة بعيداً بما يكفي عن المحور لكي يحدث خبو دلالي (راجع الفقرة 3.2). وإضافة إلى ذلك، إذا حدث تراصف الهوائيات أثناء فترات تكون فيها زوايا الوصول شاذة جداً فقد لا يكون التراصف مثالياً. ومن ثم عندما تراصف الهوائيات على مسارات حرجية (مثل مسارات طويلة في منطقة ساحلية) يستحسن التأكد من التراصف عدة مرات في فترة من بضعة أيام.

### 4 انخفاض التمييز بالاستقطاب المتقطع

يمكن أن يتعرض التمييز بالاستقطاب المتقطع (XPD) إلى انحطاط كافٍ لإنتاج تداخل في نفس القناة وبدرجة أقل تداخل في القناة المجاورة. ويجب أن يؤخذ في الاعتبار انخفاض التمييز XPD الذي يحدث في ظروف الجو الصافي وفي ظروف المطر كذلك.

#### 1.4 التنبؤ بالانقطاع الناجم عن تأثيرات الجو الصافي

يحدد التأثير المشترك للانتشار عبر مسارات متعددة وللخطوات الاستقطاب المتقطع للهوائيات انخفاض التمييز XPD الذي يحدث أثناء نسب مئوية صغيرة من الوقت. لحساب تأثير هذه الانخفاضات في أداء الوصلة يتبع اتباع الإجراء التالي خطوة بخطوة:

الخطوة 1: حساب

$$(58) \quad XPD_0 = \begin{cases} XPD_g + 5 & \text{for } XPD_g \leq 35 \\ 40 & \text{for } XPD_g > 35 \end{cases}$$

حيث  $XPD_g$  هو الحد الأدنى للتمييز XPD الذي يضمنه المصمم عند نقطة تسليم هوائيات الإرسال والاستقبال أي الحد الأدنى للتمييز XPD لنقطة التسليم لكل من هوائي الإرسال والاستقبال.

الخطوة 2: تقييم معلمة النشاط عبر مسارات متعددة

$$(59) \quad \eta = 1 - e^{-0.2(P_0)^{0.75}}$$

حيث  $P_0 = p_w / 100$  هو عامل حدوث مسارات متعددة يقابل النسبة المئوية من الوقت  $p_w$  (%) لتجاوز  $A = 0$  dB في الشهر الأسوأ المتوسط كما تم حسابه في المعادلين (7) أو (8) حسب الحالة.

الخطوة 3: تحديد

$$(60) \quad Q = -10 \log \left( \frac{k_{XP} \eta}{P_0} \right)$$

حيث:

$$(61) \quad k_{XP} = \begin{cases} 0.7 & \text{هوائي إرسال واحد} \\ 1 - 0.3 \exp \left[ -4 \times 10^{-6} \left( \frac{s_t}{\lambda} \right)^2 \right] & \text{هوائي إرسال} \end{cases}$$

وفي حالة صدور إرسال باستقطاب تعامدي من هوائيين مختلفين يمثل  $s$  (m) الفاصل الرأسي ويمثل  $\lambda$  (m) طول الموجة الحاملة.

الخطوة 4: تشتت المعلمة  $C$  من الصيغة التالية:

$$(62) \quad C = XPD_0 + Q$$

الخطوة 5: يحسب احتمال الانقطاع  $P_{XP}$  العائد إلى الاستقطاب المتقطع في الجو الصافي من الصيغة التالية:

$$(63) \quad P_{xp} = P_0 \times 10^{-\frac{M_{XPD}}{10}}$$

حيث  $M_{XPD}$  (dB) هو هامش التمييز XPD المكافئ لمعدل الخطأ في البتات (BER) المرجعي الذي تعطيه الصيغة التالية:

$$(64) \quad M_{XPD} = \begin{cases} C - \frac{C_0}{I} & \text{XPIC} \quad \text{بدون} \\ C - \frac{C_0}{I} + XPIF & \text{XPIC} \quad \text{مع} \end{cases}$$

حيث  $C_0/I$  هي نسبة الموجة الحاملة إلى التداخل لمعدل خطأ في البتات (BER) مرجعي والتي يمكن تقييمها سواء بالمحاكاة أو بالقياس.

XPIF هو العامل المقيس في المختبر لتحسين الاستقطاب المتقطع الذي يعطي الفارق في العزل بالاستقطاب المتقطع XPI عند نسب الموجة الحاملة إلى الضوضاء عريضة بقدر كافٍ (35 dB عادة) وعند معدل خطأ في البتات (BER) معين للأنظمة المجهزة أو غير المجهزة بملاعبي تداخل الاستقطاب المتقطع (XPIC). والقيمة النموذجية للملاعي XPIC هي 20 dB تقريباً.

## 2.4 التبؤ بانقطاع التمييز XPD العائد إلى تأثير الهواطل

### 1.2.4 إحصائيات التمييز XPD في حالات الهواطل

يحدد المطر الكثيف قيم انخفاض XPD المشاهدة أثناء نسب مئوية صغيرة من الوقت. وإذا لم تتيسر التنبؤات أو القياسات المفصلة على بعض المسيرات يمكن الحصول على تقدير تقريري لتوزيع قيم XPD غير المشروع من خلال التوزيع التراكمي للتوجهين بسبب المطر متعدد الاستقطاب CPA (راجع الفقرة 4.2) بواسطة علاقة تساوي الاحتمالات التالية:

$$(65) \quad XPD = U - V(f) \log CPA \quad \text{dB}$$

ويتعلق عموماً المعاملان  $U$  و  $V(f)$  بعدد من المتغيرات والمعلمات التجريبية، بما في ذلك، التردد،  $f$ . ويمكن، بالنسبة إلى مسيرات في خط البصر مع زوايا ارتفاع صغيرة واستقطاب أفقى أو رأسى أن يحسب هذان المعاملان حساباً تقريرياً بواسطة الصيغ التالية:

$$(66) \quad U = U_0 + 30 \log f$$

$$(67) \quad \begin{aligned} V(f) &= 12,8 f^{0,19} && \text{for } 8 \leq f \leq 20 \text{ GHz} \\ V(f) &= 22,6 && \text{for } 20 < f \leq 35 \text{ GHz} \end{aligned}$$

وقد حددت لقيم توهين أكبر من 15 dB قيمة متوسطة  $U_0$  من 15 dB تقريباً مع حد أدنى من 9 dB لكل القياسات.

ويصل تغير قيم  $U$  و  $V(f)$  إلى نحو يكون فيه الفرق بين قيم CPA للاستقطابين الرأسي والأفقي غير ذي دلالة عندما يصار إلى تقدير XPD. وينصح المستعمل باستخدام قيمة CPA للاستقطاب الدائري عندما يطبق المعادلة (65).

ويمكن تطبيق إحصائيات XPD على المدى الطويل التي تم التوصل إليها عند تردد معين على تردد آخر بواسطة العلاقة شبه التجريبية التالية:

$$(68) \quad XPD_2 = XPD_1 - 20 \log (f_2 / f_1) \quad \text{for } 4 \leq f_1, f_2 \leq 30 \text{ GHz}$$

حيث  $XPD_1$  و  $XPD_2$  هما قيمة التمييز XPD التي لا يتم تجاوزهما أثناء النسبة المئوية نفسها من الوقت عند الترددين  $f_1$  و  $f_2$ . وتتأثر العلاقة بين CPA و XPD بعدها عوامل، بما في ذلك الهوائي المتبقى XPD الذي لم يؤخذ في الاعتبار. وتعتبر المعادلة (68) أقل دقة في حالة فروقات كبيرة بين التردادات المتوازية. وتكون أكثر دقة عندما تقابل  $XPD_1$  و  $XPD_2$  الاستقطاب نفسه (الأفقي أو الرأسي).

#### 2.2.4 إجراء خطوة بخطوة للتبؤ بالانقطاع الناجم عن تأثيرات الهواطل

الخطوة 1: تحديد التوهين على المسير  $A_{0,01}$  (dB) الذي تم تجاوزه أثناء 0,01% من الوقت من المعادلة (34).

الخطوة 2: تحديد التوهين على المسير المكافئ  $A_p$  (dB):

$$(69) \quad A_p = 10^{((U - C_0/I + XPIF)/V)}$$

حيث يحصل على  $U$  من المعادلة (66) و  $V$  من المعادلة (67)،  $C_0/I$  (dB) هي نسبة الموجة الحاملة إلى التداخل المحددة للمعدل المرجعي بدون الملاي،  $XPIF$  (dB) هو عامل تحسين الاستقطاب المتقطع للمعدل BER المرجعي. في حالة عدم استعمال الجهاز XPIC يضبط  $XPIF = 0$ .

الخطوة 3: تحديد المعلمات التالية:

$$(70) \quad m = \begin{cases} 23.26 \log [A_p / 0.12 A_{0,01}] & \text{إذا كانت } m \leq 40 \\ 40 & \text{وإلا} \end{cases}$$

: و

$$(71) \quad n = (-12.7 + \sqrt{161.23 - 4m}) / 2$$

يجب أن تكون قيمة  $n$  الصالحة في المدى من -3 إلى 0. ينبغي ملاحظة أنه في بعض الحالات وخاصة عند استعمال الجهاز XPIC يمكن الحصول على قيمة  $n$  تقل عن -3. في هذه الحالات يتغير ملاحظة أن قيمة  $p$  التي تقل عن -3 سوف تؤدي إلى معدل BER للانقطاع يقل عن  $1 \times 10^{-5}$ .

الخطوة 4: يحدد احتمال الانقطاع من الصيغة التالية:

$$(72) \quad P_{XPR} = 10^{(n-2)}$$

#### 5 التشوه الناجم عن تأثيرات الانتشار

يكمن السبب الأولي للتشوه في وصلات على خط البصر في نطاق الموجات UHF و SHF في اعتماد التردد على الاتساع وعلى تأثير الزمرة في ظروف تعدد المسيرات في الجو الصافي. وتؤدي الزيادة في هامش الحماية من الخبو في الأنظمة التماثلية إلى تحسين الأداء بما أن تأثير الضوضاء الحرارية قد انخفض. غير أن استعمال الهوامش العريضة للحماية من الخبو في الأنظمة الرقمية لن يكون مجدياً إذا كان الخبو الانتقائي للتتردد هو الذي يسبب انخفاض جودة الأداء.

في معظم الأحوال يعتمد تشكيل قناة الانتشار على افتراض أن الإشارة تتبع عدة مسیرات أو أشعه من المرسل إلى المسير. وهي تتضمن المسیر المباشر عبر الجو وقد تتضمن مسیراً أو عدة مسیرات إضافية آتیة من الانعکاس الأرضي و/أو الانكسار الجوي. وإذا وصل إلى المستقبل إشارة مباشرة وتکرار متاخر جداً له اتساع يکاد يكون مساوياً يحدث تداخل بين الرموز قد يؤدي إلى خطأ في كشف المعلومات. و تستعمل وسائل التنبؤ بالأداء مثل هذا النموذج المتعدد الأشعه الذي يدمج مختلف المتغيرات مثل المهلة (الفارق الزمني بين أول شعاع يصل وبين الأشعه الأخرى) وتوزيع الاتساع الذي يصبحه نموذج خاص لعناصر التجهيز مثل المشكّل و مسوی الطور و مخططات تصحيح الخطأ الأمامي (FEC)، وإلخ. وهناك عدة طرق يمكن جمعها في ثلاث فئات عامة على أساس استعمال توقيع النظام أو تشوہ الاتساع الخطی (LAD) أو الہامش الصافی للحماية من الخبوا. كثيراً ما يستعمل في المنهج الذي يعتمد على التوقيع نموذج محاکاة ثنائی الشعاع يستخدم في المختبر ويربط بينه وبين معلومات أخرى مثل معلومات عن حدوث تعدد المسیرات وعن خصائص الوصلة. أما في المنهج الذي يعتمد على التشوہ LAD يقدر توزيع التشوہ على مسیر ما يلاحظ عند ترددین في النطاق الرادیوی و تستعمل خصائص المشكّل و مسوی الطور، إلخ، كذلك يستعمل المنهج الذي يعتمد على الہامش الصافی للحماية من الخبوا توزیعات إحصائية لاتساع الشعاع مقدرة بالإضافة إلى معلومات عن التجهيزات بالقدر المستعمل في المنهج الذي يعتمد على التشوہ LAD. والطريقة التي توصي بها الفقرة 1.5 هي الطريقة التي تعتمد على التوقيع للتنبؤ بالخطأ في الأداء.

يعتقد أن التشوہ العائد إلى المواتل يمكن إهماله وعلى أي حال فهي مشكلة أقل تأثیراً بكثير من التوهين بسبب المواتل في حد ذاته. ومن المعروف أن التشوہ يحدث في نطاقات امتصاص الموجات المليمترية والمليمترية الفرعية غير أن تأثیرها في أنظمة التشغيل غير واضح حتى الآن.

## 1.5 التنبؤ بالانقطاع في الأنظمة الرقمية غير الخمية

يعرف احتمال الانقطاع هنا على أنه احتمال كون المعدل BER أكبر من عتبة معينة.

**الخطوة 1:** حساب مهلة متوسط الوقت انطلاقاً من:

$$(73) \quad \tau_m = 0.7 \left( \frac{d}{50} \right)^{1.3} \text{ ns}$$

حيث  $d$  هو طول المسیر (km).

**الخطوة 2:** تحسب معلمة النشاط عبر مسیرات متعددة  $\eta$  مثل الخطوة 2 من الفقرة 2 من الفقرة 1.4.

**الخطوة 3:** يحسب احتمال الانقطاع الانتقائي من الصيغة التالية:

$$(74) \quad P_s = 2.15\eta \left( W_M \times 10^{-B_M/20} \frac{\tau_m^2}{|\tau_{r,M}|} + W_{NM} \times 10^{-B_{NM}/20} \frac{\tau_m^2}{|\tau_{r,NM}|} \right)$$

حيث:

$W_x$ : عرض التوقيع (GHz)

$B_x$ : عمق التوقيع (dB)

$\tau_{r,x}$ : التأخير المرجعي (ns) المستعمل للحصول على التوقيع مع  $x$  وهي القيمة التي تدل إما على حبو مع الطور الأدنى ( $M$ ) أو خبو مع طور غير الأدنى ( $NM$ ).

وإذا لم يتوفّر إلا معلمة النظام المقیس  $K_n$  يمكن حساب احتمال الانقطاع الانتقائي في المعادلة (74) باستعمال العلاقة التالية:

$$(75) \quad P_s = 2.15\eta (K_{n,M} + K_{n,NM}) \frac{\tau_m^2}{T^2}$$

حيث:

(ns) : فترة النظام  $T$

$K_{n,x}$ : معلمة النظام المقىس مع  $x$  التي تدل على إما الطور الأدنى ( $M$ ) أو الطور غير الأدنى ( $NM$ ) للخبو.

وتقديم التوصية ITU-R F.1093 تعريف معلمات التوقيع ومواصفة كيفية الحصول على التوقيع.

## 6 التقنيات الخاصة بتحجيف تأثيرات الانتشار عبر مسارات متعددة

ينبغي عند تصميم الوصلات مراعاة تأثيرات الخبو غير الانتقائي للترددات البطيء نسبياً (أي، "الخبو المنتظم") العائد إلى تمديد الحزمة، والخبو الانتقائي للترددات الأسرع العائد إلى الانتشار عبر مسارات متعددة وهناك عدد من التقنيات المتوفرة لتحجيف جميع هذه التأثيرات في نفس الوقت. وغالباً ما تخفف نفس هذه التقنيات أيضاً انخفاض تميز الاستقطاب المتقطع. ويمكن تصنيفها في فئتين هما: التقنيات التي لا تتطلب تنوعاً في الاستقبال أو الإرسال والتقنيات التي تتطلب التنوع.

ومما أنه يستحسن تحجب التنوع قدر الإمكان لأسباب اقتصادية ينظر أولاً في الاستراتيجيات والتقنيات بلا تنوع الواردة في الفقرة 1.6. وهذه الاستراتيجيات والتقنيات لها علاقة أيضاً بأنظمة التنوع وينبغي استعمالها عند الإمكان حتى في الحالات التي لا تمثل ضرورة باللغة. أما تقنيات التنوع فترد دراستها في الفقرة 2.6.

### 1.6 التقنيات بلا تنوع

يمكن استعمال عدة تقنيات بهدف تحجيف تأثيرات الخبو الناجم عن المسارات المتعددة بلا تنوع وذلك للوصلات سواء بين أبراج قائمة أم بين أبراج سيعمل على بنائها. ويستحسن مراعاة استيفاء هذه التقنيات لإحدى الاستراتيجيات التالية أو أكثر:  
 الاستراتيجية A: التخفيف من حدوث الخبو المنظم الشديد الناجم عن آليات جوية (مثل تمديد الحزم وفق اقتران الهوائي والمسيرات المتعددة الجوية، (راجع الفقرة 3.2));

الاستراتيجية B: التخفيف من حدوث انعكاسات على سطح الأرض؛

الاستراتيجية C: تخفيض التخالف الزمني بين الانعكاسات على سطح الأرض والمجاهات الجوية.

#### 1.1.6 زيادة ميل المسير

يجب تحديد موقع الوصلات على نحو يستفاد به من التضاريس الأرضية بحيث يزداد ميل المسير (ويسمى ذلك أحياناً تقنية "high-low") إذ إن ذلك يستجيب لأهداف الاستراتيجية A المذكورة أعلاه وجزء من أهداف الاستراتيجية B أيضاً. وينبغي إرافق هذه الطريقة بطريقة حجب التضاريس من أجل تخفيض سويات الانعكاسات على سطح الأرض (ال استراتيجية B؛ راجع الفقرة 2.1.6) إذ إن الطريقتين وثيقتا الصلة.

ويمكن تخفيض ارتفاع الهوائي عند إحدى نهايتي المسير في الحالة التي تكون فيها الأبراج موجودة وذلك لاستيفاء الاعتبارات التي سبق ذكرها شريطة التقيد بقواعد الإفساح الواردة في الفقرة 2.2.2.

#### 2.1.6 تخفيض تأثيرات الانعكاسات على سطح الأرض

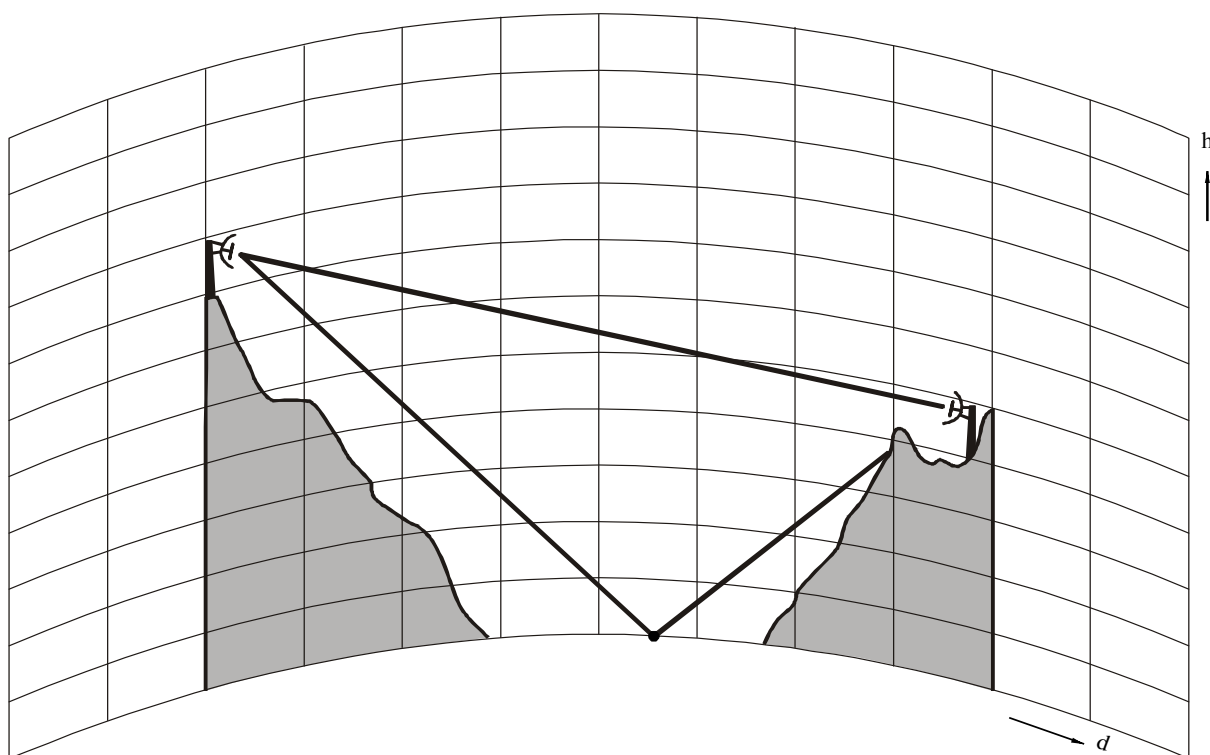
يجب تركيب الوصلات حيث يمكن التخفيف من حدوث انعكاسات على السطح شديدة مرآوية ومنتشرة (أو على الأقل جعل الانعكاسات المرآوية الشديدة انعكاسات منتشرة أصغر). وبالتالي التقليل من حدوث الخبو الناجم عن المسيرات المتعددة على سطح الأرض والتشوهات (الاستراتيجية B). وهناك تقنيات متعددة لهذا الغرض ترتبط غالباً بعضها بالبعض الآخر. ولذا لا ينبغي تطبيق أحدها دون مراعاة التقنيات الأخرى. وسترد دراسة هذه التقنيات في الفقرات التالية:

### 1.2.1.6 تأثير حجب نقطة الانعكاس

تكمّن إحدى التقنيات في الاستفادة من التلال أو الجبال أو المباني الموجودة على طول المسير من أجل حجب الهوائيات عن المسطحات الأكثر مراوية وانعكاسية (مثل المسطحات المائية والسهول وقمم التلال المستوية العارية من الأشجار وسطوح المباني؛ انظر الشكل 7). يستحسن في أفضل الظروف أن تكون التلال والجبال مكسوة بالنباتات من أجل زيادة خفض سوية المجال المنعرج على سطحها. ويمكن بالطبع حجب المسطحات الانعكاسية بسهولة أكبر عند تخفيف إفساح المسير (راجع الفقرة 3.1.6).

الشكل 7

مثال لحماية هوائي بمحبه عن انعكاس مراوي



0530-07

يستحسن إجراء دراسات لمسیر الحزم الشعاعية من أجل إيجاد عائق الحجب المناسب وذلك في مدى من القيم الفعالة للعامل  $k$  تقع بين  $k_e$  (أو قيمة حد أدنى أخرى) وبين "اللاماهية" (راجع الفقرة 2.2.2). وينبغي الانتباه إلى أن يكون انعكاس السطح محظوظاً بالكامل أو جزئياً للقيمة المرتفعة أو المتوسطة الفعلية للعامل  $k$ . ومن الواضح أن بعض فوائد تأثير الحجب تهدد باستعمال عائق الحجب إذا وقعت موجة منعكسة واحدة أو أكثر تحت تأثير "انكسار هائل" عند العائق المذكورة إذ إن احتمال الخيو الناجم عن المسيرات المتعددة على سطح الأرض والتتشوه يكون في هذه الظروف أكبر. كما ينبغي الحرص على أن يكون انعراج الموجة المباشرة مقبولاً مع مراعاة معايير إفساح المسير في القيم الفعالة قليلة الارتفاع للعامل  $k$  والتي تعادل حالات الانكسار دون المعياري.

### 2.2.1.6 انتقال نقطة الانعكاس إلى سطح أقل انعكاسية

ثمة طريقة أخرى تنطوي على تسوية ارتفاع الهوائي عند أحد طرفي المسير أو عند الطرفين بحيث تكون الانعكاسات الناتجة في الجبال أو في أرض مزروعة أقل شدة. ويمكن تسوية ميل المسير في حالة المسيرات فوق الماء على نحو يحدث فيه الانعكاس فوق البر وليس فوق الماء وبفضل أن تكون أرضاً مكسوة بالأشجار أو النباتات. وتقرب نقطة الانعكاس من الهوائي المحفَّض وتبعُد عن الهوائي المرفوع.

وتعد طريقة تحديد موقع مناطق الانعكاس الممكنة في الفقرة 3.2.1.6 (الخطوات من 1 إلى 3). وفيما يتعلق بالمسيرات القصيرة بقدر كافٍ يستحسن استعمال التقنية بكمالها من أجل تحديد إمكانية اختيار ارتفاع الهوائي أو ارتفاع الهوائيين بحيث يتم تجنب التداخل الضار الناجم عن الانعكاسات المرآوية لسطح الأرض.

وتعالج الفقرة 4.2.1.6 طرائق حساب أو قياس شدة الانعكاس المرآوي لسطح الأرض.

### 3.2.1.6 الاختيار الأمثل لارتفاعات الهوائي

يمكن أحياناً في حالة المسيرات القصيرة تسوية ارتفاع هوائي واحد أو ارتفاع الهوائيين (الاستقبال والإرسال) بحيث لا تسبب أي موجة منعكسة على السطح تدالحاً ضاراً ينتقل مع الموجة المباشرة ليسيء للقيم الفعالة للعامل  $k$  بشكل كبير. كما يمكن تسوية ارتفاعات الهوائي من أجل إحداث انعكاسات على سطح الأرض قليلة الانعكاسية، كما يرد في الفقرة 2.2.1.6. وفيما يلي طريقة الخطوة خطوة التي تتيح تطبيق التقنيتين وتحديد مدى ضرورة التنوع:

**الخطوة 1:** يحسب الارتفاع التجريبي لهوائي الإرسال والاستقبال باستعمال قاعدة الإفصاح المتعلقة بالأنظمة بلا تنوع (الفقرة 1.2.2.2).

**الخطوة 2:** يحسب أعلى ارتفاع هوائي الإرسال والاستقبال فوق المناطق المحمّل فيها حدوث انعكاس مرآوي والواقعة على خط المسير أو بجواره. وقد يكون سبب الانعكاسات المرآوية الشديدة وجود مناطق مثل السطوح المائية أو السهول أو القمم المسطحة للتلال غير المشجرة أو سطوح المباني. وقد لا يكون سطح الانعكاس في هذه المناطق بالضرورة أفقياً وقد يمر نفس المسير بمناطق مختلفة عدة (راجع الملاحظة 1). وإذا أمكن تحديد بعض المناطق استناداً إلى الخريطة يجب فيما يتعلق بمناطق أخرى دراسة دقة للتضاريس على طول المسير أو بجواره مباشرة.

وتعطي العلاقة التالية (انظر الشكل 8) الارتفاعين  $h_1$  و  $h_2$  لهوائيين فوق منطقة انعكاس بزاوية ميل  $v$  (راجع الملاحظة 1):

$$(76) \quad h_1 = h_{1G} + y_1 - y_0 + x_0 \times 10^3 \times \tan v \quad \text{m}$$

$$(77) \quad h_2 = h_{2G} + y_2 - y_0 - (d - x_0) \times 10^3 \times \tan v \quad \text{m}$$

حيث:

1، 2: ارتفاع الأرض عن سطح البحر في المواقع 1 و 2، على التوالي (m)

$h_{1G}$ ،  $h_{2G}$ : ارتفاع الهوائيين عن سطح الأرض في المواقع 1 و 2، على التوالي (m)

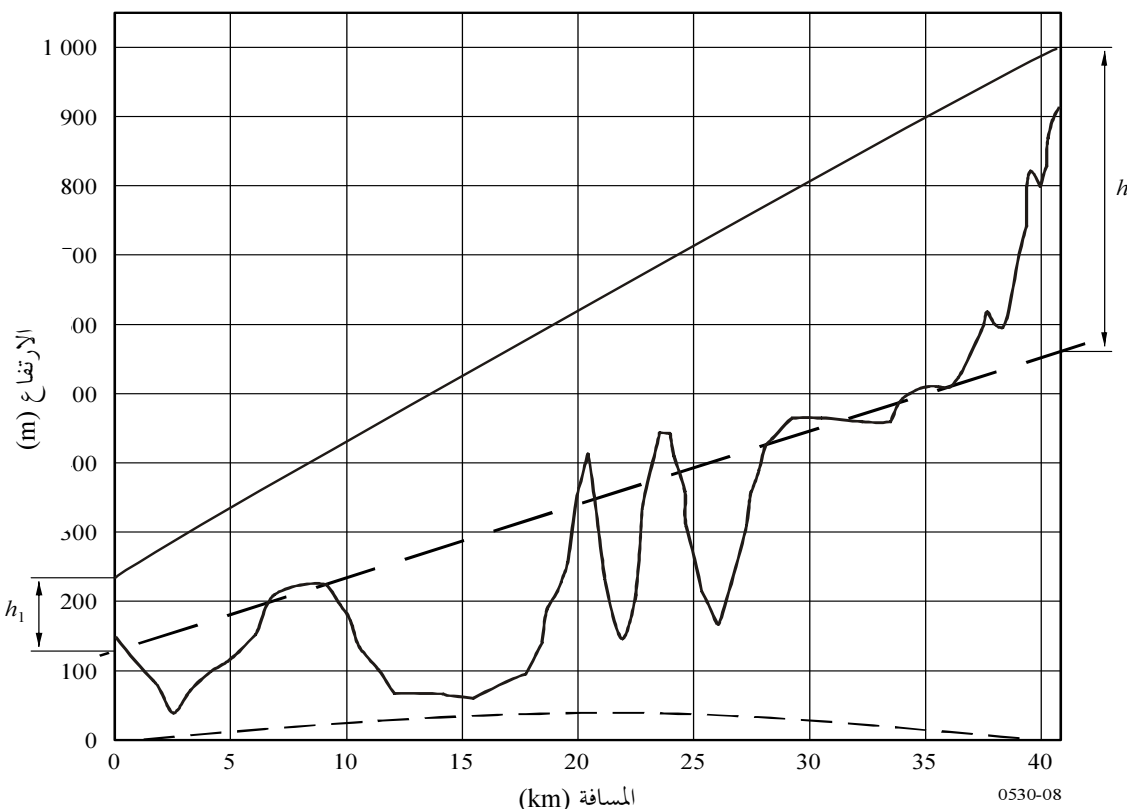
$y$ : ارتفاع النقطة المركزية لمنطقة الانعكاس عن سطح البحر (m)

$x_0$ : المسافة بين النقطة المركزية لمنطقة الانعكاس والموقع 1 (km).

وفي حال وجود منطقة الانعكاس فوق البحر يستحسن مراعاة التغيرات الناجمة عن المد والجزر.

الشكل 8

المسير في تضاريس أرضية عاكسة



الخطوة 3: تحسب المسافتان  $d_1$  و  $d_2$  بين كل سطح عاكس ممكن والموقعين 1 و 2 (راجع الملاحظة 2) وذلك في مدى القيم الفعالة للعامل  $k$  المخصوصة بين  $k_e$  (99,9%) واللاماهية (راجع الفقرة 2.2.2؛ أما على الصعيد العملي فبإمكان اختيار قيمة كبيرة مثل  $10 \times 1,0 = k$ ):

$$(78) \quad d_1 = d(1 + b)/2 \quad \text{km}$$

$$(79) \quad d_2 = d(1 - b)/2 \quad \text{km}$$

حيث:

$$(80) \quad b = 2 \sqrt{\frac{m+1}{3m}} \cos \left[ \frac{\pi}{3} + \frac{1}{3} \arccos \left( \frac{3c}{2} \sqrt{\frac{3m}{(m+1)^3}} \right) \right]$$

$$(81) \quad m = \frac{d^2}{4a_e(h_1 + h_2)} \times 10^3$$

$$(82) \quad c = (h_1 - h_2) / (h_1 + h_2)$$

مع  $ka = a_e$  وهو نصف القطر المكافئ للأرض بالنسبة إلى عامل  $k$  معين ( $a = 6375 \text{ km}$  نصف القطر المكافئ للأرض)؛ وفي المعادلة (81) يعبر عن  $d$  بالكميometرات وعن  $h_1$  و  $h_2$  بالأمتار.

إذا أمكن تجنب مناطق الانعكاس المرآوي بتسوية ارتفاع أحد المهاين أو ارتفاع كليهما مع مراعاة قواعد الإفساح (الخطوة 1) يتم تقدير التعديل المدخل ثم البدء من جديد بالخطوة 2.

الخطوة 4: أما بالنسبة إلى السطوح العاكسة المرآوية التي لا يمكن تجنبها يحسب فرق طول المسير بين الموجتين (أو "الشعاعين") المباشرة وغير المباشرة (معبراً عنها بأطوال الموجة) في نفس مدى القيم الفعالة  $k$ :

$$(83) \quad \tau = \frac{2f}{0.3d} \left[ h_1 - \frac{d_1^2}{12.74k} \right] \left[ h_2 - \frac{d_2^2}{12.74k} \right] \times 10^{-3}$$

وفي كل مرة يكون فيها عدد أطوال الموجة  $\tau$  عدداً صحيحاً موجياً عندما تغير  $k$  (1، 2، إلخ)، فإن الإشارة المستقبلة تمر في الحد الأدنى، الأمر الذي يتوجب تفاديه قدر الإمكان. وكلما ازداد عدد القيم الصحيحة للأطوال  $\tau_{min} - \tau_{max}$  عندما تغير  $k$  في مادها كلما ازداد احتمال الإساءة إلى نوعية الأداء مما يقتضي بعض التنوع.

عندما يكون  $\tau_{min} - \tau_{max} > 1$  عند تغير  $k$  في المدى المطلوب، يمكن تجنب التنوع على نحو شبه مؤكداً. لكن فيما يتعلق بمسيرات يتجاوز طولها 7,5 km تقريراً، فإن أفضل طريقة للتأكد من أن الحماية بالتنوع غير ضرورية هي تطبيق طريقة حساب حدوث الخبو على المسيرات المتعددة (الفقرة 3.2) وطريقة التنبؤ بالانقطاعات في الأنظمة الرقمية غير الحممية (الفقرة 1.5). ويجب في جميع الحالات تسوية ارتفاع أحد المهاين أو ارتفاع كليهما على نحو يكون فيه  $\tau \approx 0,5$  بالنسبة إلى القيمة  $k$  المتوسطة.

عندما يكون  $\tau_{min} - \tau_{max} \leq 1$  يصبح عمق الخبو الناجم عن المسيرات المتعددة على سطح الأرض واحتمال ضرورة التنوع مرتبطين بشدة انعكاس الإشارة (راجع الفقرتين 2.2.1.6 و 3.2.1.6) ومعرفة ما إذا كان أحد المهاين أو كلاهما يحتوي على تمييز كافٍ إلى انعكاسات سطح الأرض (راجع الفقرة 5.2.1.6). وينبغي التذكر أنه في حال المسيرات الطويلة بشكل كافٍ فإن الطبقات الشاذة ذات عوامل تدرج الانكسار السالبة جداً قد تسبب خبواً للموجة المباشرة ناجماً عن تجديد الحرمة وأن الموجة أو الموجات المنعكسة على السطح قد تتعزز في نفس الوقت إذ إن طاقة الموجة المباشرة تنتشر باتجاه الأرض. وأفضل طريقة لتحديد ضرورة بعض الحماية بالتنوع هي تطبيق طريقة حساب حدوث الخبو على المسيرات المتعددة (الفقرة 3.2) وكذلك طريقة التنبؤ بالانقطاعات في الأنظمة الرقمية غير الحممية (الفقرة 1.5).

**الملاحظة 1** - بما أن شكل المسيرات يستند إلى عينة من الارتفاعات التي تفصل بينها مسافة معينة، فإن الميل الفعلي لسطح الأرض يتغير قليلاً بين النقاط المقابلة على المسير. ويقترح السماح بتعديل صغير للقيمة المقدرة لزاوية ميل المظهر الرقمي (مثل القيم  $10 \pm m$  المقابل لتنوعات ارتفاعات الشكل في طرف القطعة). ويمكن حسب الاقتضاء إجراء فحص بالنظر للمسير القائم بين نقاط اعتيان الأرض.

وفي بعض الحالات التي يكون فيها شكل المسير قليل الانتظام أو يبدو تقسيمه غير ملائم، يستحسن رسم منحني التراجع على طول المسير وفق التعليمات الواردة في الفقرة 1.4.2.1.6. وافتراض أن الانعكاس يحدث على هذا المنحني من أجل دراسة ارتفاعات فوق نقطة الانعكاس والمسافات في هذه النقطة. وينبغي في هذه الحالة فحص الخطوط التي قدمت في هذه الفقرة وفي الفقرة 1.4.2.1.6 معاً.

**الملاحظة 2** - يستحسن في بعض الحالات أن تكون أدنى قيمة فعالة  $k$  أقل من  $k_e(99,9\%)$ .

#### 4.2.1.6 اختيار الاستقطاب المتعامد

يستحسن اختيار الاستقطاب المتعامد بدلاً من الاستقطاب الأفقي فيما يتعلق بمسيرات فوق الماء بترددات أعلى من 3 GHz تقريراً. ويتوقع أن تحقق زوايا التماس التي تزيد عن  $0,7^\circ$  تقريراً انخفاضاً في انعكاس السطح من 2 إلى 17 dB نسبة إلى التخفيض الذي يتحققه الاستقطاب الأفقي.

ويمكن الحصول على تقدير أدق لمعامل الانعكاس الفعال لسطح الأرض الداخل في الانعكاس المرآوي عن طريق الحساب أو القياس كما هو مبين في الفقرات اللاحقة.

### 1.4.2.1.6 حساب معامل الانعكاس الفعال على سطح الأرض

يمكن حساب معامل الانعكاس الفعال على سطح الأرض باتباع طريقة الخطوة خطوة التالية (راجع الملاحظة 1).

الخطوة 1: تحسب السماحية المركبة لسطح الأرض،  $\eta$ ، قرب مناطق الانعكاس على سطح الأرض:

$$(84) \quad \eta = \epsilon_r - j18\sigma/f$$

حيث  $\epsilon_r$  هو السماحية النسبية و  $\sigma$  الإيصالية ( $S/m$ ). وتقدر القيم  $\epsilon_r$  و  $\sigma$  استناداً إلى المعلومات الواردة في النوصية ITU-R P.527.

الخطوة 2: تحسب زاوية التماس،  $\phi$ ، لمدى القيم الفعالة للعامل  $k$  الناتج من الخطوة 3 من الطريقة الواردة في الفقرة 3.2.1.6:

$$(85) \quad \phi = \frac{h_1 + h_2}{d} \left[ 1 - m(1 + b^2) \right]$$

الخطوة 3: يحسب معامل انعكاس السطح،  $\rho$ ، لنفس مدى قيم  $k$ :

$$(86) \quad \rho = \left| \frac{\sin \phi - \sqrt{C}}{\sin \phi + \sqrt{C}} \right|$$

حيث:

$$(87) \quad \text{للاستقطاب الأفقي} \quad C = \eta - \cos^2 \phi$$

$$(88) \quad \text{للاستقطاب المتعامد} \quad C = \frac{\eta - \cos^2 \phi}{\eta^2}$$

الخطوة 4: يحسب عامل التباعد،  $D$ ، لسطح الأرض:

$$(89) \quad D = \sqrt{\frac{1 - m(1 + b^2)}{1 + m(1 - 3b^2)}}$$

الخطوة 5: يحسب الطول،  $L_1$ ، للمجسم الإهليجي لمنطقة فريبل الأولى على سطح الأرض طوال المسير:

$$(90) \quad L_1 = d \sqrt{1 + \frac{4fh_1h_2 \times 10^{-2}}{3d}} \left[ 1 + \frac{f(h_1 + h_2)^2 \times 10^{-2}}{3d} \right]^{-1} \text{ km}$$

و كذلك العرض  $W_1$  حسب الاتجاه العرضي:

$$(91) \quad W_1 = \sqrt{\frac{3 \times 10^{-4}d}{f}} \text{ km}$$

حيث يعبر عن  $h_1$  و  $h_2$  بالأمتار وعن  $d$  بالكميلومترات. ويفترض أن الجسم الإهليجي لمنطقة فريبل الأولى مركز على نقطة الانعكاس الهندسية لسطح انعكاس واضح (راجع الملاحظة 2).

الخطوة 6: عندما يتضح أن جزءاً واحداً من المجسم الإهليجي لمنطقة فريبل الأولى يحدث انعكاساً مرآوياً يتم تقدير الطول  $\Delta x$  (km) لهذا الجزء. ويقدر بعد ذلك عامل الانعكاس المرآوي (راجع الملاحظة 2):

$$(92) \quad R_s = \sqrt{\frac{f(h_1 + h_2)^4 (\Delta x)^2 \times 10^{-2}}{3h_1 h_2 d^3}}$$

حيث يعبر عن  $h_1$  و  $h_2$  هنا أيضاً بالأمتار وعن  $d$  بالكميلومترات. ويفترض أن  $R_s = 1$  بالتغيب.

الخطوة 7: إذا كان السطح الداخلي للمجسم الإهليجي لمنطقة فريبل الأولى قليل الانتظام بعض الشيء يقدر عامل عدم انتظام السطح  $R_r$  كالتالي:

$$(93) \quad R_r = \sqrt{\frac{1 + (g^2 / 2)}{1 + 2,35(g^2 / 2) + 2\pi(g^2 / 2)^2}}$$

حيث:

$$(94) \quad g = \frac{40\pi f \sigma_h \sin\phi}{3}$$

مع العلم بأن  $\sigma_h$  (m) هو الانحراف المعياري لارتفاع السطح نسبة إلى منحني التراجع في الجزء من المسير الواقع داخل المجسم الإهليجي لمنطقة فريبل الأولى (راجع الملاحظة 3). ويفترض أن  $R_r = 1$  بالتغيب.

الخطوة 8: يحسب معامل الانكسار الفعال للمدى المطلوب للقيمة الفعلية للعامل  $k$ :

$$(95) \quad \rho_{eff} = \rho D R_s R_r$$

ويمكن بعد ذلك تقدير سوية الموجة أو الموجات المنعكسة نسبة إلى الموجة المباشرة وذلك استناداً إلى التقنية الواردة في الفقرة 5.2.1.6.

**الملاحظة 1** - يبدو أنه من الصعب الحصول على تقدير دقيق لمعامل الانعكاس الفعال للسطح في العديد من المسيرات البرية (خاصة بالترددات المرتفعة) وذلك بسبب ارتيابات مختلفة (مثل إيقالية السطح، عدم انتظام السطح، إلخ ...) وبسبب العامل الشخصي المصاحب للحساب حالياً. وليس طريقة الحساب في هذه الحالات إلا دليلاً تقريرياً يتيح التعرف على المسيرات التي تواجه بعض المشاكل أو الاختيار لمسیر ما بدلاً من مسیر آخر مع توجّب عدم إهمال ما تيسّر من فائدة. ويحسن بالنسبة إلى الانكسار على سطح الأرض افتراض أرض رطبة في المناطق المعرضة عادة للرطوبة في الفترات التي يلاحظ فيها الخبر.

**الملاحظة 2** - تعطي المعادلة (92) نتائج أدق عندما لا يكون كفاف منطقة الانعكاس المرآوي بعيداً عن نقطة الانعكاس المرآوي. وقد يفضل في بعض الحالات تقسيم منطقة فريبل الأولى إلى جزء غير منتظم أبداً وغير عاكس بوضوح (بسبب الرأوية المرتفعة التي تميز سطح الأرض أو بسبب تأثير الحجب بسبب التضاريس الأرضية) وجزء آخر على درجة أقل من عدم انتظام وبالتالي عاكس جزئياً يحسب فيه عامل عدم انتظام السطح وفقاً للخطوة 7 المذكورة أعلاه.

تجدر الإشارة على سبيل الإعلام إلى أن المنطقة العاكسة من سطح الأرض تغطي منطقة فريبل الأولى تماماً على طول المسير وأن اتساع الموجة المنعكسة أعلى بمقدار 2,6 dB من اتساع الموجة المباشرة (دون مراعاة تأثيرات عامل التباعد  $D$  أو تمييز الهوائي موضوع الدراسة في الفقرة 5.2.1.6). وقد تبلغ هذه القيمة 6 dB إذا كانت المنطقة العاكسة تعطي تماماً منطقة فريبل الأولى ليس فقط في بعدها الطولي بل في بعدها العرضي أيضاً. وبال مقابل إذا لم تقع نقطة الانعكاس الهندسية في المنطقة العاكسة فإن اتساع الموجة المنعكسة لن يتجاوز -3,4 dB. وإن وقعت خارج منطقة فريبل الأولى تماماً فإن اتساع النسي للموجة المنعكسة يكون أقل من -11,5 dB.

**الملاحظة 3** - قد يفضل في حال عدم انتظام سطح الأرض المسير رسم منحني التراجع على طول المسير لمسافة تعادل تماماً طول منطقة فريبل الأولى: وهذا الرسم يستعمل كأساس لتحديد موقع نقطة الانعكاس ثم حساب الانحراف المعياري للارتفاعات  $\sigma_h$  (m) حول هذا المنحني. ونظراً إلى أن الموقع الأولى لمنطقة فريبل الأولى مجھول قد تكون العملية تكرارية. وإذا كانت منطقة فريبل الأولى فوق الماء يفترض أن السطح منتظم.

#### 2.4.2.1.6 قياس معامل الانعكاس الفعال على السطح

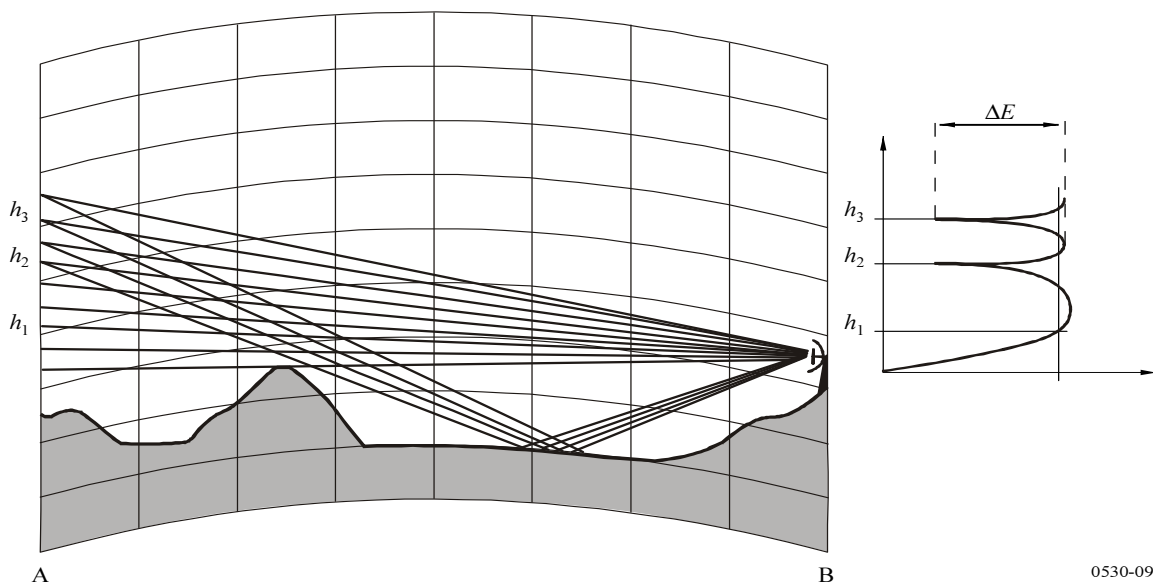
يمكن في شروط الانتشار العادية (راجع الفقرة 8 المتعلقة بأفضل لحظة أثناء النهار وكذلك الملاحظة 1) قياس معامل الانعكاس الفعال على السطح العاكس بإعداد مخطط ارتفاع الهوائي - كسب الهوائي المتعلق بسوية الإشارة المستقبلة عند تسوية ارتفاع هوائي الإرسال أو هوائي الاستقبال في مدى ترددات يكفي عرضه لرصد قيم المخطط الدنيا والعليا على حد سواء. وإذا كان  $\Delta E$  هو الفرق بين السويتين الدنيا والعليا (انظر الشكل 9) يعطى معامل الانعكاس الفعال بالمعادلة التالية:

$$(96) \quad \rho_{eff} = \frac{10^{\Delta E/10} + 1 - 2 \times 10^{\Delta E/20}}{10^{\Delta E/10} - 1}$$

**الملاحظة 1** - قد يكون سطح الأرض أثناء الفترة النهارية التي يتوقع فيها الشروط العادية للانتشار أكثر جفافاً مما هو عليه أثناء الفترة النهارية التي تتوقع فيها ظواهر الانتشار بالمسيرات المتعددة. وبالتالي يستحسن إجراء تصحيح يستند على معدلات الفقرة 1.4.2.1.6 وإلى الفروق المعروفة لإيصالية الأرض في شروط الرطوبة أو الجفاف. ولا تقدم الفقرتان 1.4.2.1.6 و 2.4.2.1.6 إلا تعليمات إجمالية بهذا الصدد.

الشكل 9

قياس  $\Delta E$  (dB) على أساس مخطط ارتفاع الهوائي - كسب الهوائي



0530-09

#### 5.2.1.6 استعمال تمييز الهوائي

إذا كانت المسيرات ذات ميل كافٍ أو إساح طبيعي كبير، تصبح الزوايا بين الموجة المباشرة والموجة أو الموجات المنعكسة على سطح الأرض كبيرة بقدر كاف للاستفادة من المخطط النموذجي لإشعاع الهوائي أو الهوائيين من أجل تمييز الموجة أو الموجات المنعكسة. وحتى إذا لم تتوفر هذه الفرصة المرتبطة بتضاريس الأرض، قد يكون من المفيد إمالة الهوائي أو الهوائيين قليلاً نحو الأعلى من أجل زيادة قدرة التمييز المتيسرة. وفيما يلي الطريقة خطوة بخطوة المناسبة لهذا الغرض:

الخطوة 1: تحسب الزوايا بين الموجة المباشرة والموجات المنعكسة على سطح الأرض في المواقع 1 و 2 للمدى المطلوب من القيم الفعالة  $k$  الناتجة عن الخطوة 3 من الفقرة 4.2.1.6، وذلك على النحو التالي:

$$(97) \quad \alpha_1 = \frac{180}{\pi} \left[ \frac{h_1}{d_1} - \frac{h_1 - h_2}{d} - \frac{d_2}{12,74k} \right] \times 10^{-3} \quad \text{درجة}$$

$$(98) \quad \alpha_2 = \frac{180}{\pi} \left[ \frac{h_2}{d_2} - \frac{h_2 - h_1}{d} - \frac{d_1}{12,74k} \right] \times 10^{-3} \quad \text{درجة}$$

الخطوة 2: تقدير التوهين الحاصل في الإشارة (أو الإشارات) المنعكسة على سطح الأرض نسبةً إلى الإشارة المباشرة والناتج عن تمييز الهوائي (راجع الملاحظة 1):

$$(99) \quad L_a = 12 \left[ \left( \frac{\alpha_1}{\alpha_{a1}} \right)^2 + \left( \frac{\alpha_2}{\alpha_{a2}} \right)^2 \right] \quad \text{dB}$$

حيث  $\alpha_1$  و  $\alpha_2$  هما فتحتا نصف القدرة للحزمة في الهوائيين.

وإذا وقعت زاوية أو زوايا الموجة أو الموجات المنعكسة على سطح الأرض في فتحة نصف القدرة لحزمة أحد الهوائيين أو كليهما، يستحسن إمالة الهوائي أو الهوائيين المعينين نحو الأعلى بمقدار نصف عرض الحزمه من أجل إدخال تمييز هوائي إضافي (راجع الملاحظة 2). وحتى إذا كانت زاوية ورود الموجة المنعكسة على سطح الأرض خارجة قليلاً عن نصف فتحة حزمه الهوائي فقد يكون من المستصوب القيام بإمالة الهوائي قليلاً نحو الأعلى (راجع الملاحظة 2). ويمكن عندئذ تقدير التوهين الإجمالي الناجم عن تمييز الهوائي (راجع الملاحظة 1):

$$(100) \quad L_a = 12 \left[ \left( \frac{\alpha_1 + \alpha_{t1}}{\alpha_{a1}} \right)^2 + \left( \frac{\alpha_2 + \alpha_{t2}}{\alpha_{a2}} \right)^2 \right] \quad \text{dB}$$

حيث  $\alpha_{t1}$  و  $\alpha_{t2}$  هما زاويتا الهوائيين اللذين جرت إماليتهما نحو الأعلى.

الخطوة 3: قد يكون من المفيد بالنسبة إلى بعض المسيرات تقدير أو قياس معامل الانعكاس الفعال على السطح من أجل الحصول على تقدير إجمالي لسوية الانعكاس أو الانعكاسات على السطح في الشروط العادلة للانتشار. وتستعمل لهذا الغرض المعلومات الواردة في الفقرة 4.2.1.6. ويعبر عندئذ عن التوهين الكلي لسوية الموجة أو الموجات المنعكسة على سطح الأرض بالمعادلة التالية:

$$(101) \quad L_s = L_a - 20 \log \rho_{eff} \quad \text{dB}$$

حيث  $L_s$  تنتج عن المعادلة (99) أو (100)، وفقاً للحالة. ونظراً إلى أنه يمكن تعزيز معامل الانعكاس الفعال على السطح في حالات المسيرات المتعددة على سطح الأرض فمن غير الضروري تقديره بدقة كبيرة أو تقديره على الإطلاق بهدف حساب زوايا الميل نحو الأعلى لهوائي الاستقبال والإرسال (راجع الخطوة 5).

الخطوة 4: إذا كان أحد الهوائيين أو كلاهما مائلاً نحو الأعلى، فإن التوهين في سوية الإشارة المباشرة في الشروط العادلة للانتشار ( $k = 4/3$ ) يعطي بالمعادلة التالية (راجع الملاحظة 1):

$$(102) \quad L_d(k = 4/3) = 12 \left[ \left( \frac{\alpha_{t1}}{\alpha_{a1}} \right)^2 + \left( \frac{\alpha_{t2}}{\alpha_{a2}} \right)^2 \right] \quad \text{dB}$$

ويمكن تقدير  $L_d$  في شروط الانعكاس الشديد أو الانعكاس دون المعياري على النحو التالي (راجع الملاحظة 1):

$$(103) \quad L_d(k) = 12 \left[ \left( \frac{\alpha_{t1} - \alpha_d}{\alpha_{a1}} \right)^2 + \left( \frac{\alpha_{t2} - \alpha_d}{\alpha_{a2}} \right)^2 \right] \quad \text{dB}$$

مع العلم بأن زاوية الورود للإشارة المباشرة تعطى تقريرياً بالمعادلة التالية (راجع الملاحظة 2):

$$(104) \quad \alpha_d = -0,0045d \left( \frac{1}{k} - \frac{3}{4} \right) \quad \text{درجة}$$

المخطوطة 5: يمكن حساب عمق الخبو الأكبر الممكن في شروط الانتشار العادية ( $k = 4/3$ ) بعد التداخل الضار بين الإشارة المباشرة أو الإشارات المنعكسة على سطح الأرض على النحو التالي:

$$(105) \quad A_{max} = -20 \log \left( 10^{-L_d/20} - 10^{-L_s/20} \right) \quad \text{dB}$$

حيث تعطى  $L_d$  في المعادلة (102) و  $L_s$  في المعادلة (101) (راجع الملاحظة 2). أما في حالات الانكسار فوق المعياري والانكسار دون المعياري حيث تتلقى الإشارة المباشرة خسارة إضافية قدرها  $0,5L_{add}$  (ناتجة عن تمديد الحزمة في حالات الانكسار فوق المعياري) والإشارة المنعكسة على السطح كسباً قدره  $-0,5L_{add}$ ، فإن أقصى عمق خبو ممكن يعطى بالمعادلة التالية:

$$(106) \quad A_{max} = -20 \log \left( 10^{-(L_d + 0,5L_{add})/20} - 10^{-(L_s - 0,5L_{add})/20} \right) \quad \text{dB}$$

حيث  $L_d$  تنتج عن المعادلة (103) و  $L_s$  عن المعادلة (101) (راجع الملاحظة 2).

ويمكن استمثال زوايا ميل الهوائيين بهدف التخفيف قدر الإمكان من الخبو الناجم عن المسيرات المتعددة على سطح الأرض أو تشوّه الاتساع الناجم عن المسيرات المتعددة على سطح الأرض أو هاتين الظاهرتين معاً. ويمكن تحقيق الاستمثال الرامي إلى تخفيف الخبو إلى أبعد حد ممكن، بإعطاء القيمة  $L_{add}$  في المعادلة (106) قيمة تصعب فيها  $L_d$  أقل من  $L_s$  بحوالي  $0,3$  dB عندما  $k = \infty$  (ويتم على الصعيد العملي اختيار قيمة كبيرة جداً لـ  $k = 1 \times 10^9$ )، وبتحفيض  $A_{max}$  إلى أبعد حد ممكن بواسطة اختيار تحريري لزوايا الميل. وبالمقابل يمكن إعطاء  $p_{eff}$  في المعادلة (101) قيمة قريبة أو أعلى من  $1,0$  بحيث ينتج نفس الفرق البالغ  $0,3$  dB (راجع الملاحظة 2) قبل البدء بعملية الاستمثال. وهذا يتم تفادي الحالة التي تكون فيها قيمة  $p_{eff}$  مجھولة. وينجم عن هذه الطريقة تقليل هامش الحماية من الخبو بمقدار يتراوح بين  $2,5$  و  $4$  dB.

ويمكن تحقيق تخفيف تشوّه الاتساع الناتج عن المسيرات المتعددة في السطح بطريقة مثلى عن طريق زيادة زوايا الميل إلى أن يصل تمييز الهوائي للموجة أو الموجات المنعكسة على سطح الأرض إلى حد الأقصى. ويحدث ذلك عندما يصل فرق التمييز بين الموجة المباشرة والموجة أو الموجات المنعكسة حده الأقصى. غير أنه من أجل استمثال زوايا الميل بدقة تبعاً للتشوه الم hasil من المسيرات المتعددة على سطح الأرض، يجب توفير المخططات التموذجية للهوائي إذ إن المعادلة (100) أقل دقة خارج نموذج فتحي نصف القدرة لحزمة الهوائي وخاصة مع الاقتراب من حدود الفص الرئيسي (راجع الملاحظة 1). ولما أن استمثال تشوّه الاتساع يتحقق مقابل تخفيف إضافي هامش الحماية من الخبو المنتظم يوصى بزيادة زوايا الميل الناتجة عن استمثال الخبو بنفس النسبة إلى أن يمكن التوصل إلى حد أعلى من تخفيف هامش الحماية من الخبو البالغ  $6$  dB تقريراً. وبالرغم من أن زوايا الميل الناتجة تعادل استمثالاً أقل للخبو بحد ذاته فإن زيادة عمق الخبو لا تعادل إلا جزءاً من الديسيبل (راجع الملاحظة 3).

تجدر الإشارة إلى أن التمييز الأمثل للمسيرات المتعددة على سطح الأرض والناتج عن ميل الهوائي أو الهوائيين نحو الأعلى يعمل أيضاً على زيادة التمييز المتعلق بالمسيرات المتعددة في الجو (راجع الملاحظة 4).

**الملاحظة 1** - يكون هذا التقرير للحزمة الغوسية أكثر دقة في فتحة حزمة الهوائي. أما خارج هذه الزاوية فيمكن استعمال المخططات التموذجية الفعلية للهوائي من أجل الحصول على تقدير أدق حسب الاقتضاء، وذلك بالغ الأهمية عند الاقتراب من حدود الفص الرئيسي.

**الملاحظة 2** - إمالة الهوائيات نحو الأعلى أمر مرغوب به لتحسين نوعية الأداء في الخبو الناجم عن المسيرات المتعددة في الأرض مهما كانت سوية الموجة أو الموجات المنعكسة على سطح الأرض في شروط الانتشار العادية (مثل  $k = 4/3$ ). وهدف تخفيف الخبو إلى أبعد قدر ممكن هو تخفيف سوية الموجة أو الموجات المنعكسة على سطح الأرض أكثر من سوية الموجة المباشرة مع تخفيف هذه السوية الأخيرة بقدر يكفي لخفض عمق الخبو الكلي. وهدف التخفيف الأمثل من تشوّه الاتساع هو جعل الفرق النسبي بين اتساع الموجة المباشرة واتساع الموجة أو الموجات المنعكسة على سطح الأرض مقابل زيادة طفيفة للحد الأقصى لعمق الخبو. وبالإمكان تحقيق هذين الاستمثالين بتعديل زوايا ورود الموجة أو

الموحات المنعكسة على سطح الأرض بحيث تقابل نقاطاً على المخطط النموذجي للهوائي تمثل كسوباً أقل ارتفاعاً. ويمكن عند الضرورة التعويض عن توهين هامش الحماية من الخبو المنتظم في الشروط العادلة الذي يتبع توهين تمييز الهوائي باتجاه الموجة المباشرة الناجم عن إمالة الهوائي نحو الأعلى، وذلك بزيادة حجم الهوائيات.

وتتوقف زوايا ميل الهوائي التي تتيح تخفيض تأثير انعكاسات سطح الأرض في شروط الانتشار العادبة على هندسة شكل المسير وفتحة حزمة الهوائي والسوية النسبية للانعكاسات على سطح الأرض. وبالرغم من أن زاوية الميل الواجب استعمالها في شروط الانتشار العادبة تزداد بزيادة فتحة الحزمة يلاحظ نقصان في نسبة الضرورية بين زاوية الميل وفتحة الحزمة كلما ازدادت هذه الفتحة.

وتكون زوايا ميل الهوائي التي تتيح تخفيض تأثير انعكاسات السطح في شروط المسويرات المتعددة على سطح الأرض أكبر من الزوايا المقابلة لها في شروط الانتشار العادية؛ ويتم عادة اختيار قيم الزوايا في شروط المسويرات المتعددة. وعندما تسبب طبقة طرفية كمحرى ما مثلًا توهينًا ناجمًا عن تجديد الحزمة أو سوية الإشارة المبشرة، فإن احتمال تعزيز الإشارة أو الإشارات المنعكسة على سطح الأرض يزداد في نفس الوقت مما يؤدي إلى حالات خيو شديد ناجم عن المسويرات المتعددة. كما ويلاحظ أيضًا ازديادًا في تشهه الانتشار.

ويُمكن إجراء محاكاة مطابقة للتعليمات الواردة في الخطوة 5 من أجل اختيار زوايا الميل التي تقلل عمق الخبو المعتبر عنه في المعادلة (106) إلى أبعد حد ممكِّن. (إن احتمال تحفيض الفرق بين  $L_d$  و  $L_s$  إلى أقل من 0,3 dB، وهو ينبع عن تعديل إحدى هاتين القيمتين أو كليهما، ليس له تأثير سلبي ظاهر على النتيجة). وتغيير زوايا الميل المثلثي تبعاً للتغير زوايا الموجات المنعكسة على سطح الأرض والمعبر عنها في المعادلتين (97) و (98). وتقابل أكبر زوايا ميل للهوائي أكبر زوايا انعكاس على الأرض. ويترافق مقدار تحفيض الهاشم النموطي لزوايا الميل المثلثي كما ذكر سابقاً بين 2,5 و 4 dB. وفي جميع الحالات في حال زيادة حجم المرويات من أجل التوعية عن نقصان هامش الحماية من الخبو المنتظم ينبغي البدء بعملية استئصال جديدة بغية تحديد زوايا ميل مثلى جديدة.

وينبغي كما ورد سابقاً أن تنسق عملية التخفيض الأمثل لتشوه الاتساع الخطوة التي تتيح تخفيض الخيوء إلى أقل حد ممكن وزيادة زوايا الميل بنفس النسب. ويرتبط استعمال إحدى مجموعتي زوايا الميل أو استعمال خليطٍ من هاتين المجموعتين باعتبارات متعلقة بالنظام (راجع الملاحظة 3).

وينبغي الإشارة إلى أنه يتم التعويض عن جزء من تحفيض الملوكي باتجاه الشعاع الأقوى (ويتمثل عادة بالموجة المباشرة) الناتج عن ميل الملوكي والمقابل لشروط المسيرات المتعددة للسطح بسبب أن هذا الشعاع له عموماً زاوية ورود موجة.

**الملاحظة 3** - إن الحل الأفضل هو تجنب زيادة حجم المروي باستثناء زوايا ميله بحيث ينخفض الحد الأدنى لعمق النبؤ إلى أقل قدر ممكن (مقابل نقصان هامش الحماية من النبؤ يتراوح بين 2,5 و4 dB). بالمقابل إذا نتج عن استثناء زوايا الميل بمقدار تخفيف اتساع التشوه زيادة في جودة الأداء تكفي لنفادى اللحوء إلى التنوع يكون التفضيل لهذا الحل. ويتوقف الاختيار حسب الاقتضاء على نوعية التسوية المستعملة في النظام. وهناك حل ثالث ينطوي على اختيار زوايا ميل للهوي يؤدي إلى نقص في هامش الحماية من النبؤ المتنظم يتراوح بين القيمتين القصوتين 4-2,5 dB و6 dB تقريرياً. ومن الهام ملاحظة أن التخفيف الأمثل للتشوه يؤدى إلى عدم استعاد شروط النبؤ المثلث إلا قليلاً (أي عمق نبؤ الحد الأدنى).

**الملاحظة 4** - تشير كل تحليل رسم الإشعاعات والقياسات التجريبية المعمقة لزوايا الورود واتساع أقوى ثلث موجات للمسيرات المتعددة إلى أن موجة المسيرات المتعددة في الجو الذي يمثل زاوية الورود الأكبر هي عموماً الموجة الأقوى. وهكذا طالما تم اختيار زوايا ورود أكبر من أكبر زاوية ورود (أقل من  $0.3^{\circ}$  لأطوال المسير الخصورة بين 31 و 51 km) ازداد تمييز الهوائي للمسيرات المتعددة في الجو. وهكذا ينبغي عموماً أن يقوم استئثار إمالة الهوائي، نحو الأعلى، على أساس تحفظ التأثيرات المتتالية للانتشار بالمسيرات المتعددة على سطح الأرض إلى أكبر حد ممكن.

تخفيض إفساح المسير 3.1.6

ثمة طريقة أخرى أقل وضوحاً أو تحديداً من الطرائق الأخرى تطوي على تخفيض إفساح المسير بهدف إدخال كمية يمكن التنبؤ بها من التمهين من خلال الانبعاج في شرط الانكسار دون المعياري علم الأقواء. ويعتقد أن هذه التقنية فعالة خاصة لأنها:

- تخفف من احتمال وأو شدة التوهين الناجم عن تمديد الحزمة الذي يؤثر على الموجة المباشرة بسبب طبقة طرفية (مثل المجرى) تقع مباشرة أو جزئياً تحت طول المسير الكلي (الاستراتيجية A)؛
  - تخفف في نفس الوقت احتمال تعزيز هذه الطبقة لانعكاسات السطح (الاستراتيجية B).

وبالتالي احتمال أن تجتمع الموجة المباشرة بطريقة ضارة مع انعكاس سطح واحد أو أكثر ممبيبة بذلك خيوأً شديداً انتقائياً في التردد.

ويكمن السبب الذي يشجع على الاعتقاد بفعالية الطريقة في أن التأثير الحالى بين الموجة المباشرة والموجة أو الموجات المسيبة للتدخل والمنعكسة على سطح الأرض يقل إذا لم تقع الطبقة الطرفية التي تسبب تحديد حزمه الموجة المباشرة إلا جزئياً تحت المسير (الاستراتيجية C). على نحو يكمن فيه الخيوان الانتقائي للتردّد أقل شدة مما إذا وقعت هذه الطبقة بكاملها تحت المسير.

وتتطلب هذه التقنية حلاً توافقياً بين تخفيف تأثيرات الخبو الناجم عن المسيرات المتعددة على السطح من جهة وازدياد الخبو الناجم عن التوهين بالانعراج في شروط الانكسار دون المعياري من جهة أخرى. وقد أعدت قاعدة إفساح المسير الواردة في الفقرة 1.2.2.2 بهدف تحجب التوهين بالانعراج في شروط الانكسار العادية (أي قيمة وسطية فعالة للعامل  $k$ ) مع إتاحة توهين بالانعراج قدره 6 dB تقريباً في الشروط المقابلة للقيمة  $k_e$  (99,9%). وفيما يخص الأنظمة ذات هوماش الحماية الكافية من الخبو المنتظم، يمكن مبدئياً قبول توهين أكبر بالانعراج في الشروط العادية كما في شروط الانكسار دون المعياري.

هذه التقنية بالغة الأهمية بالنسبة إلى المسيرات ذات الميل القليل أو المعدوم. غير أنه من المفيد أيضاً بالنسبة إلى المسيرات ذات الميل البسيط تخفيف إفساح المسير من أجل تخفيف إضافي لتأثيرات المسيرات المتعددة.

تطبق هذه التقنية بمزيد من الأمان على الهوائي الأقل ارتفاعاً في تشکيلة بالاختلاف المكاني ويوصى باستعمالها بشكل تلقائي في الطريقة الواردة في الفقرة 1.2.6.

## 2.6 تقنيات التنوع

تشمل هذه التقنيات التنوع في المكان والزاوية والتردد. وينبغي تحجب تنوع التردد والاعتماد على التنوع في المكان وفي الروايا أو على الجمجم بينهما، ليس فقط لأن فعالية استعمال طيف الترددات أكبر في هذه الطريقة ولكن لأن هاتين التقنيتين تعطيان عموماً نتائج أفضل: فالتنوع المكاني خاصة يساعد على مواجهة الخبو المنتظم (مثل الخبو الناجم عن خسارة تمديد الخزنة عن تعدد المسيرات في الجو مع تأخر نسيبي قصير) وكذلك الخبو الانتقائي للتردد، بينما لا يتيح تنوع التردد إلا مواجهة خبو التردد الانتقائي (مثل الخبو الناجم عن مسيرات متعددة على سطح الأرض وأو في الجو). ولذا ينبغي تحجب تنوع التردد كلما أمكن ذلك من أجل المحافظة على الطيف. أما بعد استعمال الاختلاف المكاني، فيجب استخدام اختلاف الروايا كذلك من خلال إمالة الموائيات نحو زوايا مختلفة إلى الأعلى. ويمكن استعمال اختلاف الروايا في الحالات التي لا يمكن فيها استعمال اختلاف مكاني مناسب أو من أجل تخفيف ارتفاع الأبراج.

وتتعلق درجة التحسن التي توفرها كل هذه التقنيات بمدى عدم ترابط الإشارات في قنوات تنوع النظام. ويكتفي في الأنظمة التماضية ضيقة النطاق أن يحدد التحسن في إحصائيات عمق الخبو عند تردد واحد. أما في الأنظمة الرقمية عريضة النطاق، فيتعلق أيضاً تحسن التنوع بإحصائيات التشوه داخل النطاق.

يعرف عامل تحسن التنوع  $I$  بالنسبة إلى عمق الخبو على النحو التالي:

$$(107) \quad I = p(A) / p_d(A)$$

حيث  $p_d(A)$  هو النسبة المئوية من الوقت التي يكون فيها عمق الخبو أكبر من  $A$  في قناة إشارة التنوع المختلطة، بينما  $(A)$  هو النسبة المئوية المقابلة للمسير غير الحمي. ويعرف عامل تحسن التنوع للأنظمة الرقمية بنسبة أوقات التجاوز من أجل معدل معين للخطأ في البتات (BER) مع تنوع أو بلا تنوع.

### 1.2.6 مباعدة الهوائيات في أنظمة الاختلاف المكاني

تحدد المباعدة الملائمة بين الموائيات في أنظمة الاختلاف المكاني تبعاً لثلاثة عوامل هي:

- ضرورة المحافظة على إفساح ضئيل قدر الإمكان بالنسبة إلى الهوائي الأقل ارتفاعاً (في إطار التعليمات الخاصة بالإفساح الواردة في الفقرة 2.2.2) بحيث ينخفض إلى أبعد حد حدوث الخبو الذي تسببه المسيرات المتعددة على سطح الأرض (راجع الفقرة 3.1.6);

- ضرورة الحصول على عامل تحسن محدد للتنوع المكاني بالنسبة إلى المسيرات فوق الماء (راجع الفقرة 2.2.6);
- ضرورة التخفيف إلى أبعد حد ممكن من احتمال إصابة الإشارة الواردة إلى هوائي التنوع بالخبو الناجم عن انتشار المسيرات المتعددة على سطح الأرض عندما يتعرض الهوائي الآخر للخبو.

وفيما يلي إجراء الخطوات لتحديد المباعدة بين الهوائيات:

- الخطوات من 1 إلى 4: تطبق الخطوات من 1 إلى 4 الواردة في الفقرة 3.2.1.6 من أجل تحديد:
- وجود منطقة مسیر تشکل انعکاساً مراوياً کبراً على السطح؛

ضرورة اللجوء إلى التنوع المکانی بهدف تخفیض حالات الخبو الناجمة عن الانتشار بالمسیرات المتعددة على السطح.  
(راجع الملاحظة 1 بالنسبة إلى حالة قفرات المعاكس المنفعل لقطعتين مع عاكس منفعل واحد أو أكثر في الجوار القريب). وإذا لم توجد مناطق انعکاس مراوی شدید على السطح يتم الانتقال مباشرة إلى الخطوة 8.

الخطوة 5: فيما يتعلق بنفس مدى القيم الفعالة للعامل  $k$  المستعملة في الخطوة 3، تحسب المسافات الفاصلة بين أقرب أو أبعد إشارتين مجاورتين للإشارة المستقبلة (التاليتين للتدخل بين الموجة المباشرة والموجة الناجمة عن الانتشار بالمسیرات المتعددة على السطح؛ انظر الشكل 9):

$$(108) \quad \theta_2 = \frac{150d}{f(h_1 - d_1^2 / 12.74k)} \text{ m}$$

يمكن حساب المسافة  $\theta_1$  في الموقع 1 بالاستعاضة عن  $h_1$  و  $d_1$  في المعادلة (108) :  $h_2$  و  $d_2$  على التوالي.  
إعادة استعمال هذه الخطوة بشأن جميع مناطق الانعکاس المراوی المحتملة.

الخطوة 6: حساب المباعدة المثلی الممکنة بين هوائيات التنوع لمدى قيم العامل  $k$  المذکورة أعلاه.

$$(109) \quad S_1 = \theta_1 / 2, 3\theta_1 / 2, 5\theta_1 / 2 \text{ etc.} \quad S_2 = \theta_2 / 2, 3\theta_2 / 2, 5\theta_2 / 2 \text{ etc.} \quad \text{m}$$

ومرة أخرى، تستعمل هذه الخطوة بشأن جميع مناطق الانعکاس المراوی المحتملة.

الخطوة 7: المسیرات ذات الانعکاسات المراویة الشديدة على السطح: يحسب الارتفاع التقریبی لهوائي التنوع باتباع الخطوتین 2 و 3 من الفقرة 2.2.2.2 وتحسب أيضاً المباعدة التقریبیة الناجمة،  $S'_1$  بين الهوائيات. وتنتم مقارنة هذه المباعدة التقریبیة مع مسافات المباعدة المثلی الناجمة عن الخطوة 6 فيما يخص المدى المطلوب لقيم  $k$  الفعالة.

وفي حالة المسیرات حيث تتوقع سوية إشارة منعکسة على السطح قریبة من سوية الإشارة المباشرة في شروط الانکسار العادیة (ما يعادل القيمة الوسطیة  $k$  أو  $k = 4/3$ )، يستحسن اختيار القيمة الدنيا المثلی الناجمة من الخطوة 6 (أی  $\theta_1/2 = S_1$  ) کقيمة وسطیة للعامل  $k$  (راجع الملاحظة 2) بالنسبة إلى المباعدة الفعالة. وبذلك تتحقق الحماية الصالحة عن طريق الاختلاف المکانی لأکبر مدي قيم ممكن للعامل  $k$ . (وقد يكون من الضروري بالنسبة إلى الترددات المنخفضة زيادة ارتفاع الهوائي الأعلى ولو لم ينبع عن ذلك إلا التوصل إلى أصغر مباعدة مثلی).

وفي حالة المسیرات حيث يتوجب ألا تكون سوية الإشارة أو الإشارات المنعکسة على السطح قریبة من سوية الإشارة المباشرة في شروط الانکسار العادیة (راجع الفقرتين 4.2.1.6 و 5.2.1.6 لتحديد هذه الشروط)، يمكن استعمال طریقة أخرى تنطوي على اختيار إحدى المباعدات المثلی الكبیری التي تعطیها المعادلة (109) (مثال:  $S_1 = S_2 = 5\theta_1/2$  أو  $3\theta_1/2$ ) کقيمة وسطیة للعامل  $k$ ، بحيث يتم الاقتراب من القيمة  $S'_1$  دون بلوغها. وبذلك ينخف حدوث الخبو الناجم عن المسیرات المتعددة على سطح الأرض مع الحافظة على حماية كبيرة بواسطة الاختلاف المکانی من احتمالات الخبو. وينبغي الموازنة بين الفائدة التي تجني من تخفیض حدوث الخبو الناجم عن الانتشار في المسیرات المتعددة على سطح الأرض وبين ضرر استعمال مباعدة غير مثلي على مدى واسع من قيم العامل  $k$  (راجع الملاحظة 3).

وقد يكون من الضروري بالنسبة إلى بعض المسيرات الطويلة (عموماً فوق الماء) كما ورد في الفقرة 2.2.2.2، استعمال ثلاثة هوائيات بالتنوع المكاني. وينبغي أن تكون المباعدة بين الهوائي الأعلى والهوائي الأوسط في هذه الحالة أصغر قيمة مثلث ممكنة تنتج عن المعادلة (109). وينبغي أن يستند ارتفاع الهوائي الأدنى إلى قاعدة الإفساح الواردة في الفقرة 2.2.2.2 (راجع الملاحظة 4).

**الخطوة 8: المسيرات الخالية من انعكاس مرآوي شديد على السطح:** يحسب ارتفاع هوائي الاختلاف المكاني باتباع الخطوتين 2-3 الواردتين في الفقرة 2.2.2.2

بعد الحصول على مباعدة هوائي الاختلاف المكاني تجرى حسابات تحسين التنوع والانقطاع باستعمال الطرائق الواردة في الفقرتين 1.2.6 و 2.2.6. وإذا تجاوزت مباعدة التنوع الحد  $S = 23\text{ m}$  الوارد في المعادلة (109)، يجري الحساب باستعمال هذه القيمة الحد إذ إن التحسن الفعلي مع مباعدة أكبر قد يكون ذا أهمية أكبر في الواقع. ويحسب عند الحاجة الارتفاع الجديد للهوائي الأعلى من أجل استيفاء معيار الانقطاع. وفي معظم الحالات وإذا تحدد إفساح المسير للهوائي الأدنى على نحو ينخفض من حدوث تضليل حزمة الموجة المباشرة واللحو بالمسيرات المتعددة الناتجة على السطح إلى أقل حد ممكن فإنه من غير الضروري زيادة ارتفاع الهوائي الأعلى.

**الملاحظة 1** - في حالة فرزات العاكسات المنفعلة لقطعتين مع عاكس منفعل واحد أو أكثر بالقرب من الإشارة مباشرة، تقترح أولاً معالجة كل قطعة كوصلة مستقلة من أجل تحديد مباعدة هوائيات الاختلاف المكاني في كل طرف. وفي حال عدم وجود أي انعكاس مرآوي شديد على السطح تستعمل المباعدة المحسوبة للقطعة الأطول أيضاً في القطعة الأقصر.

**الملاحظة 2** - تقابل هذه المسيرات في معظمها الحالة التي تعكس فيها الموجة على الماء دون انقطاع في الشروط العادية وحيث تقع الزاوية المشككة بين الموجة المباشرة والموجة المنعكسة عند الهوائيين داخل فتحة الحرمة البالغة  $3\text{ dB}$ . وقد تصلح أيضاً المسيرات فوق الأرض التي يحدث فيها الانعكاس على سطح أرض منتظمة (مثل سهل رطب أو مكسو بالثلج).

**الملاحظة 3** - تؤخذ هنا بعين الاعتبار الحالة التي تكون فيها فائدة تخفيض حدوث اللحو الناجم عن المسيرات المتعددة على السطح هي العامل الأهم. وقد يكون مصدر هذا اللحو مجرى على سطح الأرض أو طبقة طرفية ذات تدرج انكسار سليٍ كبير وتقع مباشرة كلياً أو جزئياً تحت المسير. ولا تصلح في هذه الشروط القيم الفعالة للعامل  $k$  التي تقل عن القيمة الوسطى. وينبغي في جميع الأحوال الاستناد إلى قيمة متوسطة فعالة للعامل  $k$  من أجل تقدير المباعدة المثلثي بين هوائيات.

**الملاحظة 4** - إذا أمكن تحقيق أن تكون المباعدة بين الهوائي الأوسط والهوائي الأدنى مطابقة للمعادلة (109) بعد تسوية بسيطة باتباع قاعدة الإفساح الواردة في الفقرة 2.2.2.2، تتحقق فائدة إضافية من حيث جودة الأداء.

## 2.2.6 المباعدة الزاوية في أنظمة تنوع الزاوية وتتنوع المكان والزاوية معاً

يمكن جمع الاختلاف الزاوي والاختلاف المكاني من أجل الحصول على مزيد من جودة الأداء حسب الاقتضاء. وتنتمي إما إلى هوائيات الاختلاف المكاني للتوصيل إلى تعزيز الاختلاف الزاوي. وفيما يلي الطريقة التي تتيح تحديد زوايا الميل في حالة زوج هوائيات يعملان باختلاف مكاني أو في حالة زوج هوائيات يعملان باختلاف الزاوية موضوعين جنباً إلى جنب.

**الخطوة 1:** يميل إلى الأعلى الهوائي الرئيسي (الأعلى) في زوج هوائيات الاختلاف المكاني (أو أحد هوائي زوج هوائيات الاختلاف المكاني الموضوعة جنباً إلى جنب) وكذلك هوائي الإرسال وفق زوايا محددة حسب الإجراءات الواردة في الفقرة 5.2.1.6 (راجع الملاحظة 1). وبذلك يتم التوصل إلى تخفيض هامش الحماية من اللحو المنتظم بمقدار يتراوح بين  $2,5$  و  $6\text{ dB}$  تبعاً لنمط الاستمثال (أقصى تخفيض لللحو أو لتشوه الاتساع). ويستعمل عند الحاجة هوائي أعرض للتعويض عن نقص هامش الحماية من اللحو المنتظم.

**الخطوة 2:** يميل إلى الأسفل هوائي التنوع (الأدنى) في زوج هوائيات الاختلاف المكاني (أو الهوائي الآخر في زوج هوائيات الاختلاف الزاوي الواقعة جنباً إلى جنب) بالنسبة إلى المستوى الأفقي المحلي للزاوية المقابلة لأدنى:

زاوية باتجاه الانعكاس المرآوي الشديد على طول المسير عندما  $k = \infty$ ؛ -

زاوية مقابله للتوجهين البالغ  $3\text{ dB}$  نسبةً إلى محور التسديد (راجع الملاحظة 2). -

يمكن اختيار زاوية تسديد توافقية في حال وجود عدة انعكاسات مرآوية شديدة على طول المسير. أما في حال عدم وجود انعكاس مرآوي شديد يمكن اختيار زاوية تقابل اتجاه أقوى انعكاس منتشر مقدّر (ناتج عن التضاريس الأرضية وأو النيبات). وإلا فيتم تسديد هذا الهوائي في الشروط العادية باتجاه خط البصر أو باتجاه الأفق في حالة وجود عائق أمام هذا الخط.

**الملاحظة 1** - ينبغي ملاحظة أن زاوية الميل المثلث بالنسبة إلى هوائي الإرسال والاستقبال ستكون متساوية عند تساوي ارتفاع الهوائيين عن نقطة الانعكاس على السطح على طول المسير. وتقابل أكبر زاوية ميل الهوائي الذي يمثل أكبر زاوية باتجاه انعكاس السطح (انظر الفقرة 5.2.1.6).

**الملاحظة 2** - المدف الرئيسي المنஸود هنا مزدوج ويكون في:

- التوصل إلى خليط من سويات الإشارات المباشرة والمعكسبة على السطح مختلف جداً عن خليط الهوائي الأعلى إذ يتم على نحو تعاظم فيه تأثيرات تنوع الروابيا إلى أكبر حد ممكن؛

- توفير الحماية عن طريق التنوع الإضافي في الشروط القاسية للخبو المنتظم الناجم عن تمديد حزمة الموجة المباشرة في مجرى واحد أو أكثر على طول المسير (ما يعني أن سوية الإشارة المعكسبة العززة على السطح في مثل هذه الحالات ستبقى على الأغلب فوق عتبة الضوضاء).

وتحدد قيمة الحد البالغة 3 dB إلى تجنب انخفاض سوية الإشارة المباشرة الوالصلة إلى هوائي التنوع انخفاضاً كبيراً خاصة عندما يحدث الانعكاس المرآوي الشديد مباشرة أمام هذا الهوائي.

ويلاحظ أن زاوية الميل الناتجة قد تكون موجبة نسبة إلى خط البصر في الشروط العادية خاصة إذا أصاب الإشارة المباشرة الوالصلة إلى هوائي التنوع توهين كبير بالانزراج في مثل هذه الشروط (مثال: الهوائي "المدفون").

### 3.2.6 فصل الترددات في أنظمة تنوع التردد

تأتي معلومات هذا القسم لتغطية حالات قليلة قد يكون فيها تنوع التردد بسبب الحاجة ضرورياً أو ملائماً أو مرفقاً لتنوع المكان والزاوية.

ويتحدد فصل الترددات الملائم بين القنوات الرئيسية وقنوات الحماية في أنظمة تنوع التردد من خلال ثلاثة عوامل:

- خطة تردد النظام الصالحة (راجع توصيات السلسلة F لقطاع الاتصالات الراديوية)؛

- ضرورة الحصول على عامل تحسن تنوع التردد الخاص بالمسيرات فوق البر (راجع الفقرة 2.5.2.6)؛

- الرغبة في تقليل احتمال خبو إشارة التردد الواحد في نفس الوقت الذي تخبو فيه إشارة بتردد آخر على مسيرات شديدة الانعكاس.

وفيما يلي إجراء الخطوة خطوة من أجل تحديد فصل الترددات:

الخطوات 1-4: تطبق الخطوات من 1 إلى 4 من الفقرة 3.2.1.6 لتحديد:

- عدم وجود مناطق مسيرات تضم انعكاساً مرآواياً شديداً على السطح؛

- ضرورة تنوع التردد لمكافحة الخبو الناجم عن المسيرات المتعددة على السطح. وفي حال عدم وجود مناطق انعكاس مرآوي شديد على السطح، الانتقال إلى الخطوة 8.

الخطوة 5: بالنسبة إلى نفس مدى القيم  $k$  الفعالة الواردة في الخطوة 3 تحسب القيمة المثلث لأدنى فصل ترددات في القناة الرئيسية وقنوات الحماية بالمعادلة:

$$(110) \quad \Delta f_{min} = \frac{7.5 \times 10^4 d}{\left( h_1 - \frac{d_1^2}{12.74k} \right) \left( h_2 - \frac{d_2^2}{12.74k} \right)} \text{ MHz}$$

حيث يعبر عن  $h_1$  و  $h_2$  بالأمتار وعن  $d$  و  $d_1$  و  $d_2$  بالكميلومترات. ويتم تنفيذ هذه الخطوة عند احتمال وجود منطقة انعكاس مرآوي.

الخطوة 6: تحسب القيم المثلث المختلطة لفصل الترددات في القنوات الرئيسية وقنوات الحماية بالمعادلة:

$$(111) \quad \Delta f = \Delta f_{min}, 3\Delta f_{min}, \text{etc.} \quad \text{MHz}$$

تنفذ هذه الخطوة أيضاً عند احتمال وجود منطقة انعكاس مرآوي.

الخطوة 7 - المسيرات مع انعكاسات مرآوية شديدة على السطح: فيما يخص المسيرات التي يتوقع أن تكون فيها سوية الإشارة المنعكسة على سطح الأرض قريبة من الإشارة المباشرة في شروط الانكسار العادي (أي قيمة  $k$  متوسطة أو  $k = 4/3$ ) يكون أدنى فصل مثالي للترددات الناتج في الخطوة 5 هو الفصل الأمثل (راجع الملاحظة 1). مما يعطي حماية تنوع التردد لأكبر مدى للقيمة  $k$ . وبالطبع ينبغي أن يأتي فصل الترددات الفعلي كحل وسطي بين القيمة المثالية والقيمة الممكنة لخطة الترددات المتيسرة. وبينما يكون كل تعديل للقيمة المثالية هدف تماشيها مع خطة الترددات المتيسرة باتجاه القيمة الأدنى الناتجة من المعادلة (110) مع  $k = \infty$ . إلا أنه ينبغي التأكيد على أن فصل الترددات الفعلي يحتاج عدم التساوي مع القيمة المثلثى من أجل الحصول على بعض الحماية عن طريق تنوع التردد. ويمكن استعمال الطريقة الواردة في الفقرة 2.5.2.6 للإرشاد حتى في المسيرات الانعكاسية.

و فيما يخص المسيرات التي لا يتوقع أن تكون فيها سوية الإشارة أو الإشارات المنعكسة على سطح الأرض قريبة من الإشارة المباشرة في شروط الانكسار العادي (راجع الفقرتين 4.2.1.6 و 5.2.1.6) حيث هذه هي الحاله هناك طريقة تصميم أخرى قد تكون ممكنة في حالات نادرة. وذلك لاحتياج إحدى أكبر قيم فصل الترددات المثلثى الناتجة عن المعادلة (111) بالنسبة إلى القيمة المتوسطة  $k$  إذا سمحت بذلك خطة الترددات ومعلمات المسير (مثل أن يكون ارتفاعاً الهوائي بالضرورة  $h_1$  وأو  $h_2$  فوق السطح العاكس) أو استعمال تنوع النطاق المتقطع. وبينما يخطر استعمال فصل ترددات أعرض من القيمة الدنيا المثلثى على عدم فعاليته على نفس عرض مدى قيم  $k$  الفعالة (راجع الملاحظة 2).

و فيما يخص القفزات مع مكرر منفعل واحد أو أكثر يعطي قطعتين منفصلتين أو أكثر ينبغي أن تطبق المعادلة (110) بشكل مستقل على كل قطعة من القطعات التي تعانى من انعكاسات مرآوية شديدة وأن تُجمع كل النتائج للحصول على القيمة الكلية  $\Delta f_{min}$ . أما القطعات التي لا تحتوى على انعكاس مرآوي شديد فينبغي إهمالها في عملية الجمع.

الخطوة 8 - المسيرات بدون انعكاسات مرآوية شديدة على سطح الأرض: تجرى حسابات تحسين التنوع باستعمال الطريقة الواردة في الفقرة 2.5.2.6 ويسوى فصل الترددات لكي يخفف من الانقطاعات ضمن شروط خطة الترددات.

**الملاحظة 1** - غالباً ما تكون هذه المسيرات هي المسيرات التي تحدث فيها الموجة المنعكسة على سطح الماء وتكون غير محجوبة في الشروط العادية وتقع الزاوية بين الموجة المباشرة والموجة المنعكسة في كل من الموائين ضمن فتحة نصف القدرة للحرزمه البالغة 3 dB. وقد تكون المسيرات فوق البر التي يحدث فيها الانعكاس على سطح أرض منتظم جداً (مثل سهل رطب أو مكسو بالثلج). وفي الحالتين يحدث أصغر فصل مثالي للمسيرات القصيرة ذات ارتفاع هوائي عال فوق السطح العاكس.

**الملاحظة 2** - بالنسبة إلى المسيرات التي تضم أكثر من إشارة منعكسة واحدة على السطح وخاصة تلك ذات السويات غير القابلة للمقارنة يمكن إيجاد حل وسط بين القيم المثلثية العديدة لفصل الترددات المتباعدة عنها وتلك الموجودة في خطة الترددات. ومن الجدير بالذكر أيضاً أن القيم التي تقل عن القيم المثلثى لفصل الترددات تتيح بعض حماية التنوع.

#### 4.2.6 تحسين التنوع المكاني في أنظمة النطاق الضيق

يمكن أن يقدر عامل تحسين الاختلاف المكاني في المستوى الرئيسي لإشارات ضيقة النطاق على مسیر فوق البر، بواسطة العبارة التالية:

$$(112) \quad I = \left[ 1 - \exp \left( -0.04 \times S^{0.87} f^{-0.12} d^{0.48} p_0^{-1.04} \right) \right] 10^{(A-V)/10}$$

حيث:

$$(113) \quad V = |G_1 - G_2|$$

مع:

- A: عمق الخبو (dB) للمسير غير الحمي
- $P_0$ : عامل حدوث الخبو (%) الناتج من المعادلة (10) أو (11)
- S: الفصل الرئيسي (من مركز إلى مركز) بين هوائيات الاستقبال (m)
- f: التردد (GHz)
- d: طول المسير (km)
- $G_1, G_2$ : كسباً الهوائيين (dBi).

تستند المعادلة (112) إلى المعطيات المتوفرة في بنك معطيات لجنة الدراسات 3 للاتصالات الراديوية من أجل أمدية المتغيرات التالية:  $2 \leq f \leq 23$  GHz،  $2 \leq d \leq 240$  m،  $2 \leq S \leq 23$  m. وثمة أسباب تدعو إلى الاعتقاد بأن هذه المعادلة قد تبقى صالحة لأطوال مسير صغيرة تصل إلى 25 km. ويمكن أن تحسب النسبة المئوية من التجاوز « $p$ » من خلال المعادلة (7) أو (8) حسب الاقتضاء. وتكون المعادلة (112) صالحة في مدى الخبو العميق الذي تكون فيه المعادلة (7) أو (8) صالحة.

### 5.2.6 تقنيات التنوع في الأنظمة الرقمية

هناك طرق متوفرة للتبنؤ باحتمالات الانقطاع وتحسين التنوع لأنظمة تنوع المكان والتردد والزاوية وكذلك للأنظمة التي تجمع بين تقنيات تنوع المكان والتردد. والإجراءات خطوة بخطوة هي كالتالي.

#### 1.5.2.6 التبنؤ بالانقطاع عند استخدام التنوع المكاني

استخدم حتى الآن بشكل كبير في أنظمة التنوع المكاني المضمام ذو القدرة القصوى. وينطبق الإجراء خطوة بخطوة المقدم أدناه على الأنظمة التي تستخدم مثل هذا المضمam. وهناك أنواع أخرى من المضمams أكثر تعقيداً تستخدم كلاً من التشوه الأدنى والقدرة القصوى حسب تقييم القناة الراديوية، وقد تعطي أداء أفضل إلى حد ما.

الخطوة 1: يحسب عامل النشاط عبر مسارات متعددة،  $\eta$ ، مثل الخطوة 2 من الفقرة 1.4.

الخطوة 2: يحسب مربع معامل الترابط غير الانتقائي،  $k_{ns}$ ، من الصيغة التالية:

$$(114) \quad k_{ns}^2 = 1 - \frac{I_{ns} \times P_{ns}}{\eta}$$

حيث يمكن تقييم التحسين،  $I_{ns}$ ، من المعادلة (112) لعمق الخبو A (dB) المقابل لامثل الحماية من الخبو المنتظم F (dB) (راجع الفقرة 6.3.2) و  $P_{ns}$  من المعادلة (29).

الخطوة 3: يحسب مربع معامل الترابط الانتقائي،  $k_s$ ، من المعادلة التالية:

$$(115) \quad k_s^2 = \begin{cases} 0.8238 & \text{for } r_w \leq 0.5 \\ 1 - 0.195 (1 - r_w)^{0.109 - 0.13 \log(1 - r_w)} & \text{for } 0.5 < r_w \leq 0.9628 \\ 1 - 0.3957 (1 - r_w)^{0.5136} & \text{for } r_w > 0.9628 \end{cases}$$

حيث تعطي الصيغة التالية معامل الترابط  $r_w$  للاتساعات النسبية:

$$(116) \quad r_w = \begin{cases} 1 - 0.9746 (1 - k_{ns}^2)^{2.170} & \text{for } k_{ns}^2 \leq 0.26 \\ 1 - 0.6921 (1 - k_{ns}^2)^{1.034} & \text{for } k_{ns}^2 > 0.26 \end{cases}$$

الخطوة 4: يحسب احتمال الانقطاع غير الانتقائي،  $P_{dns}$ ، من الصيغة التالية:

$$(117) \quad P_{dns} = \frac{P_{ns}}{I_{ns}}$$

حيث  $P_{ns}$  هو الانقطاع غير المحمي الذي تعطيه المعادلة (29).

الخطوة 5: يحسب احتمال الانقطاع الانتقائي  $P_{ds}$  من الصيغة التالية:

$$(118) \quad P_{ds} = \frac{P_s^2}{\eta(1 - k_s^2)}$$

حيث  $P_s$  هو الانقطاع غير المحمي الذي تعطيه المعادلة (74).

الخطوة 6: يحسب احتمال الانقطاع الإجمالي كالتالي:

$$(119) \quad P_d = \left( P_{ds}^{0.75} + P_{dns}^{0.75} \right)^{4/3}$$

#### 2.5.2.6 التنبؤ بالانقطاع عند استخدام تنوع التردد

تنطبق الطريقة المقدمة على النظام 1 + 1. يتبع نفس الإجراء في حالة التنوع المكاني مع فارق أن الخطوة 2 تستخدم الصيغة التالية:

$$(120) \quad I_{ns} = \frac{80}{fd} \left( \frac{\Delta f}{f} \right) 10^{F/10}$$

حيث:

$\Delta f$ : فصل الترددات (GHz) إذا كانت  $\Delta f < 0,5$  GHz يستعمل  $\Delta f = 0,5$

$f$ : تردد الموجة الحاملة (GHz)

$F$ : هامش الحماية من الخبو المنتظم (dB).

لا تطبق هذه المعادلة إلا على أمدية المعلمات التالية:

$$\begin{aligned} \text{GHz } 11 &\geq f \geq 2 \\ \text{km } 70 &\geq d \geq 30 \\ \%5 &\geq \Delta f/f \end{aligned}$$

#### 3.5.2.6 التنبؤ بالانقطاع عند استخدام تنوع الزاوي

الخطوة 1: تقدر زاوية الوصول المتوسطة،  $\mu_\theta$ ، من الصيغة التالية:

$$(121) \quad \mu_\theta = 2.89 \times 10^{-5} G_m d \quad \text{درجة}$$

حيث  $G_m$  هي القيمة المتوسطة لتدرج الانكسار (وحدات- $N/km$ ). وفي حالة وجود انعكاس أرضي قوي بشكل واضح يمكن تقدير  $\mu_\theta$  من زاوية وصول الشعاع المنعكس في ظروف الانتشار العادية.

الخطوة 2: تحسب معلمة الخفض غير الانتقائي،  $r$ ، من الصيغة التالية:

$$(122) \quad r = \begin{cases} 0.113 \sin \left[ 150 (\delta / \Omega) + 30 \right] + 0.963 & \text{for } q > 1 \\ q & \text{for } q \leq 1 \end{cases}$$

حيث:

$$(123) \quad q = 2505 \times 0.0437^{(\delta / \Omega)} \times 0.593^{(\epsilon / \delta)}$$

و:

$\delta$ : مباعدة الزاوية بين المخططين

$\epsilon$ : زاوية ارتفاع المைي الأعلى (موجب في اتجاه الأرض)

$\Omega$ : فتحة نصف القدرة لحرمة مخططات المைي.

الخطوة 3: تحسب معلمة الترابط غير الانتقائي  $Q_0$  من الصيغة التالية:

$$(124) \quad Q_0 = r \left( 0.9399^{\mu_\theta} \times 10^{-24.58 \mu_\theta^2} \right) \left[ 2.469^{1.879(\delta / \Omega)} \times 3.615^{[(\delta / \Omega)^{1.978} (\epsilon / \delta)]} \times 4.601^{[(\delta / \Omega)^{2.152} (\epsilon / \delta)^2]} \right]$$

الخطوة 4: تحسب معلمة النشاط عبر مسارات متعددة،  $\eta$ ، مثل الخطوة 2 من الفقرة 1.4.

الخطوة 5: يحسب احتمال الانقطاع غير الانتقائي من الصيغة التالية:

$$(125) \quad P_{dns} = \eta Q_0 \times 10^{-F/6.6}$$

الخطوة 6: يحسب مربع معامل الترابط الانتقائي  $k_s$  من الصيغة التالية:

$$(126) \quad k_s^2 = 1 - \left( 0.0763 \times 0.694^{\mu_\theta} \times 10^{23.3 \mu_\theta^2} \right) \delta \left( 0.211 - 0.188 \mu_\theta - 0.638 \mu_\theta^2 \right)^\Omega$$

الخطوة 7: ينتج احتمال الانقطاع الانتقائي من العلاقة التالية:

$$(127) \quad P_{ds} = \frac{P_s^2}{\eta \left( 1 - k_s^2 \right)}$$

حيث  $P_s$  هو الانقطاع غير المحمي (راجع الخطوة 3 من الفقرة 1.5).

الخطوة 8: في النهاية يحسب احتمال الانقطاع الإجمالي،  $P_d$ ، من الصيغة التالية:

$$(128) \quad P_d = \left( P_{ds}^{0.75} + P_{dns}^{0.75} \right)^{4/3}$$

#### 4.5.2.6 التنبؤ بالانقطاع عند استخدام التنوع المكاني وتنوع التردد (مستقبلان)

الخطوة 1: يحصل على معامل الترابط غير الانتقائي  $k_{ns}$  من الصيغة التالية:

$$(129) \quad k_{ns} = k_{ns,s} k_{ns,f}$$

حيث  $k_{ns,s}$  و  $k_{ns,f}$  هما معاملاً الترابط غير الانتقائي المحسوبان للتنوع المكاني (راجع الفقرة 1.5.2.6) ولتنوع التردد (راجع الفقرة 2.5.2.6)، على التوالي.

الخطوات التالية هي نفسها المتبعة في حالة التنوع المكاني.

#### 5.5.2.6 التنبؤ بالانقطاع عند استخدام التنوع المكاني وتنوع التردد (أربعة مستقبلات)

الخطوة 1: يحسب  $\eta$  مثل الخطوة 2 من الفقرة 1.4.

الخطوة 2: تُحسب معلمة التنوع  $m_{ns}$  كالتالي:

$$(130) \quad m_{ns} = \eta^3 \left(1 - k_{ns,s}^2\right) \left(1 - k_{ns,f}^2\right)$$

حيث يتم الحصول على  $k_{ns,s}$  و  $k_{ns,f}$  كما في الفقرة 4.5.2.6.

الخطوة 3: يُحسب احتمال الانقطاع غير الانتقائي  $P_{dns}$  من الصيغة التالية:

$$(131) \quad P_{dns} = \frac{P_{ns}^4}{m_{ns}}$$

حيث يتم الحصول على  $P_{ns}$  من المعادلة (29).

الخطوة 4: يُحسب مربع معامل الترابط غير الانتقائي المكافئ،  $k_{ns}$ ، من الصيغة التالية:

$$(132) \quad k_{ns}^2 = 1 - \sqrt{\eta} \left(1 - k_{ns,s}^2\right) \left(1 - k_{ns,f}^2\right)$$

الخطوة 5: يُحسب معامل الترابط الانتقائي المكافئ  $k_s$  باتباع نفس الإجراء المستخدم في حالة التنوع المكاني (الخطوة 3).

الخطوة 6: يحصل على احتمال الانقطاع الانتقائي،  $P_{ds}$ ، من الصيغة التالية:

$$(133) \quad P_{ds} = \left[ \frac{P_s^2}{\eta \left(1 - k_s^2\right)} \right]^2$$

حيث  $P_s$  هو الانقطاع غير الحمي الذي تعطيه المعادلة (74).

الخطوة 7: يحصل على احتمال الانقطاع الإجمالي  $P_d$  من المعادلة (119).

## 7 التنبؤ بالانقطاع الإجمالي

يحسب احتمال الانقطاع الإجمالي العائد إلى تأثيرات الجو الصافي من الصيغة التالية:

$$(134) \quad P_t = \begin{cases} P_{ns} + P_s + P_{XP} \\ P_d + P_{XP} \end{cases} \quad \text{في حالة استعمال تقنيات التنوع}$$

تم التوصل إلى هذه الصيغة باتباع الطرائق الواردة في الفقرات 6.3.2 و 1.4 و 1.5 و 5.2.6.

ويحسب احتمال الانقطاع الإجمالي العائد إلى المطر بانتقاء القيمة الأكبر بين  $P_{rain}$  و  $P_{XPR}$  التي تم التوصل إليها باتباع الطرائق الواردة في الفقرتين 7.4.2 و 2.2.4.

لقد أعدت طرائق التنبؤ بالانقطاع للأنظمة الراديوية الرقمية استناداً إلى تعريف حدوث الانقطاع: عندما يفوق المعدل BER قيمة معينة ( $1 \times 10^{-3}$  مثلاً) وذلك استجابة لمتطلبات التوصية ITU-T G.821. ويربط بين الانقطاع وخطأ الأداء والتيسير (راجع التوصيات ITU-R F.1092 و ITU-R F.697 و ITU-R F.695 و ITU-R F.696 و ITU-R F.634 و ITU-R F.594 و ITU-R F.1189 و ITU-R F.557). ويربط بين الانقطاع العائد إلى تأثيرات الجو الصافي والأداء بشكل أساسي كما يربط في أغلب الأحوال بين الانقطاع العائد إلى المواتيل والتيسير. مع ذلك قد تساهم تأثيرات الجو الصافي في التيسير وقد تساهم المواتيل في الأداء.

## 8 جوانب الانتشار عند الوضع في الخدمة

عند إجراء اختبارات أثناء وضع نظام ما في الخدمة وفقاً لأحكام التوصية ITU-R F.1330 يستحسن تجنب فترات السنة وساعات النهار التي يزداد أثناءها احتمال حصول الانتشار بمسيرات متعددة.

وقد أظهرت بعض الدراسات التي جرت في مناطق معتدلة المناخ من أوروبا الشرقية أنه يقل احتمال حدوث تأثيرات الانتشار بمسيرات المتعددة في الشتاء وخلال الشهرين السابقين لهذا الفصل. وفيما يخص الاختبارات التي ينبغي إجراؤها إلزامياً في الصيف، فإن الفترة الهاشمية التي يقل فيها احتمال حدوث هذه التأثيرات إلى أبعد حد حسب الاختبارات هي الفترة ما بين الساعة 1000 و 1400 وحسب التوقيت المحلي. ويمكن منطقياً افتراض صحة هذه الفترة بالنسبة إلى الفصول الأخرى.

وأظهرت قياسات أجريت في مناطق ساحلية المناخ من أوروبا الغربية عند خط عرض 60° شمالاً أنه يقل احتمال حدوث تأثيرات الانتشار بمسيرات المتعددة في الفترة ما بين الساعة 1300 و 2000 حسب التوقيت المحلي بغض النظر عن الفصل. كما أن فترة الشتاء كانت أقل الفترات تأثراً بالخلو الناجم عن الانتشار بمسيرات المتعددة. تأتي بعدها فترة الخريف ومن ثم الربيع.

## التبديل 1 للملحق 1

### طريقة تحديد العامل المناخي الجغرافي، $K$ ، انطلاقاً من معطيات قياس الخبو على مسارات فوق البر

**الخطوة 1:** يحصل على توزيع خبو الغلاف في أسوأ شهر تقويمي لكل سنة من التشغيل من خلال استعمال القيمة المتوسطة على المدى الطويل كقيمة مرجعية. ثم يحدد معدل هذا التوزيع للحصول على التوزيع التراكمي للخبو لأسوأ شهر متوسط ورسمه على مخطط بياني شبه لوغاريتمي.

**الخطوة 2:** يسجل على الرسم البياني عمق الخبو،  $A_1$ ، الذي يكون التوزيع التراكمي خطياً تقريباً وراءه ويحصل على النسبة المئوية المقابلة من الوقت  $p_1$ . ويشكل هذا الجزء الخططي ذيل عمق الخبو الكبير الذي يمكن أن يتغير ميله بمقدار 3 أو 4 dB لكل عشرية بالنسبة إلى متوسط قيمة "رالي" "Rayleigh" من 10 dB/decade، ويتعلق اتساع هذا التغير بعدد سنوات قياس المعطيات التي يتضمنها التوزيع المتوسط.

**الخطوة 3:** يحسب ميل المسير  $|e_p|$  انطلاقاً من المعادلة (6).

**الخطوة 4:** تستبدل الإحداثيات ( $P_1$  و  $A_1$ ) "الأول نقطة من الذيل" في المعادلة (7) أو (8) مع القيم  $d$  و  $f$  و  $|e_p|$  وفق الحال، وبحسب العامل المناخي الجغرافي  $K$ .

**الخطوة 5:** عندما تتوفر المعطيات لعدة مسارات من منطقة بمناخ وتضاريس أرضية مشابهة، أو لعدة ترددات، إلخ...، على مسیر واحد، يمكن الحصول على عامل مناخي جغرافي متوسط من خلال تحديد متوسط قيم  $\log K$ .

---